

レーザー溶接プログラム

USER'S MANUAL

平成23年2月

Advanced Algorithm and Systems

## 目次

1. チュートリアル	3
1.1 チュートリアル 1	3
1.2 チュートリアル 2	7
1.3 チュートリアル 3	14
1.4 チュートリアル 4	20
1.5 チュートリアル 5	31
2. 入力ファイルの説明	34
2.1 input.txt	34
2.2 material.txt	47
2.3 reference.txt	51
2.4 boundary.txt	52
2.5 geometry.txt	60
2.6 laser_schedule.txt	60
2.7 laser_profile.txt	61

## 1. チュートリアル

## 1.1 チュートリアル1

最初に基本的な計算手法になれるためにいくつかの簡単な計算を試してみましょう。work ディレクトリの下に tutorial ディレクトリに入ります。ここで ls とすると、

```
$ ls
```

```
boundary.txt      geometry.txt      material.txt      pole_up_dim_1.6mm.txt
chair_dim.txt     input.txt         pole_down_dim.txt  reference.txt
cubic_dim.txt     input_org.txt    pole_down_dim_1.6mm.txt
edge_up_dim_1.6mm.txt  laser_schedule.txt  laser_profile.txt
pole_up_dim.txt
```

などと表示されます。

このうち計算に直接必要なファイルは

```
input.txt
```

```
reference.txt
```

```
boundary.txt
```

```
material.txt
```

```
geometry.txt
```

```
laser_schedule.txt
```

```
laser_profile.txt
```

の7つですが、最後の3つ

```
geometry.txt
```

```
laser_schedule.txt
```

```
laser_profile.txt
```

は、input.txt の設定によっては、必要ありません。その他に

```
chair_dim.txt
```

```
cubic_dim.txt
```

```
pole_up_dim_1.6mm.txt
```

```
pole_down_dim_1.6mm.txt
```

```
edge_up_dim_1.6mm.txt
```

```
pole_up_dim.txt
```

```
pole_down_dim.txt
```

等のファイルがありますが、これらは geometry.txt の入力例として用意したファイルで、適宜、名前を geometry.txt に変更して、用います。

現在のディレクトリの状況を確認したところで、実際に計算を実行してみましょう。環境により異なりますが、例えば以下のように実行します。

```
$ ../../Release/welding.exe
```

num_itr	time(sec)	num_fs	div_v	div_v/div_pv
dp_L2/dp_B2		v_max	dt_L2	dt_Diff
avr_tmp	v/v0			
10	0.00001	0	0.00000E+00 NaN	NaN
0.00000E+00	0.11521E+00		0.11265E+00	0.14999E+04
0.10000E+01				
20	0.00002	0	0.00000E+00 NaN	NaN
0.00000E+00	0.10501E+00		0.10242E+00	0.14998E+04
0.10000E+01				
30	0.00003	0	0.00000E+00 NaN	NaN
0.00000E+00	0.97885E-01		0.95302E-01	0.14997E+04
0.10000E+01				
40	0.00004	0	0.00000E+00 NaN	NaN
0.00000E+00	0.92691E-01		0.90147E-01	0.14995E+04
0.10000E+01				
50	0.00005	0	0.00000E+00 NaN	NaN
0.00000E+00	0.88737E-01		0.86244E-01	0.14994E+04
0.10000E+01				
60	0.00006	0	0.00000E+00 NaN	NaN
0.00000E+00	0.85615E-01		0.83185E-01	0.14993E+04
0.10000E+01				
70	0.00007	0	0.00000E+00 NaN	NaN
0.00000E+00	0.83078E-01		0.80721E-01	0.14992E+04
0.10000E+01				
80	0.00008	0	0.00000E+00 NaN	NaN
0.00000E+00	0.80957E-01		0.78671E-01	0.14991E+04
0.10000E+01				
90	0.00009	0	0.00000E+00 NaN	NaN
0.00000E+00	0.79140E-01		0.76937E-01	0.14990E+04
0.10000E+01				
100	0.00010	0	0.00000E+00 NaN	NaN
0.00000E+00	0.77570E-01		0.75438E-01	0.14989E+04
0.10000E+01				

などと表示されて計算が終了します。ディスプレイに表示される内容については後ほど述べます。まず現在のディレクトリの内容を確認してみましょう。

\$ ls

SDF000100.data                    sdf000100.bin  
Temperature000100.data            mass\_fraction000100.bin  
sdf\_prms000100.bin                pressure000100.bin  
temperature000100.bin              velocity000100.bin  
restart000100.txt

上記のファイルが出力されていることがわかります。このうち

SDF000100.data

Temperature000100.data

は表示用の Tecplot 出力ファイルです。それ以外の

sdf000100.bin

mass\_fraction000100.bin

sdf\_prms000100.bin

pressure000100.bin

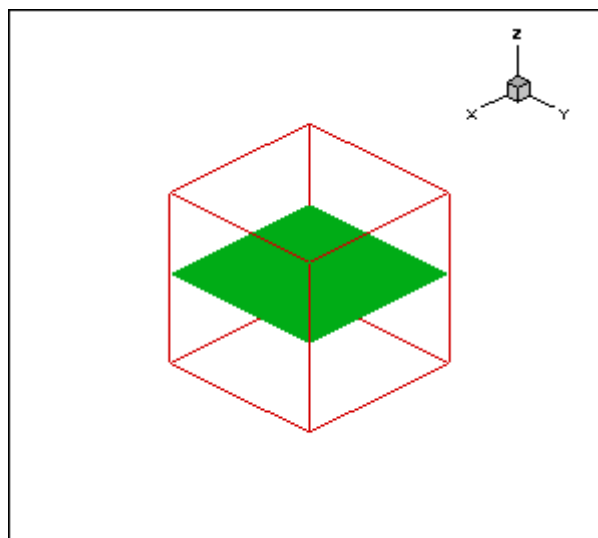
temperature000100.bin

velocity000100.bin

restart000100.txt

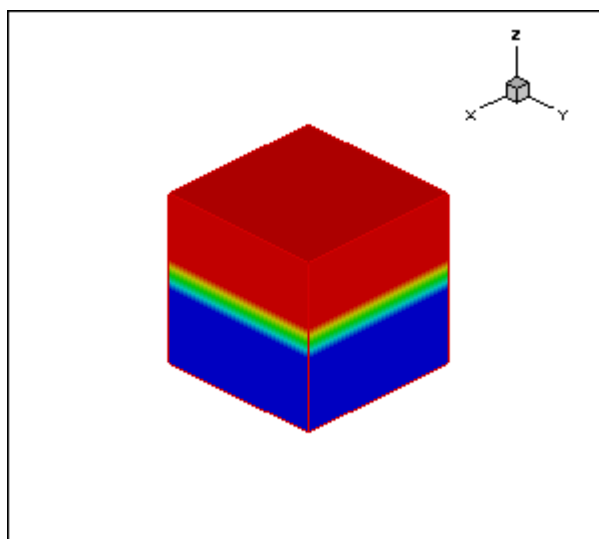
は計算を改めて再スタートさせたいときに必要になるファイルです。上記.data ファイルがなくてもこれら.bin ファイルと restart\*\*\*\*\*.txt があれば計算は再開できますし、出力用のファイルも再現できますので、多くの場合これらだけ保存しておけばいいです。(今回、モニタがちゃんと決まっていなかったの、仕方なくこのようにしました。本来であれば、モニタに合わせて圧縮したファイルをこのような目的に使用すべきですので、また次の機会にということ。)

SDF000100.data を表示させてみますと、以下のようになります。

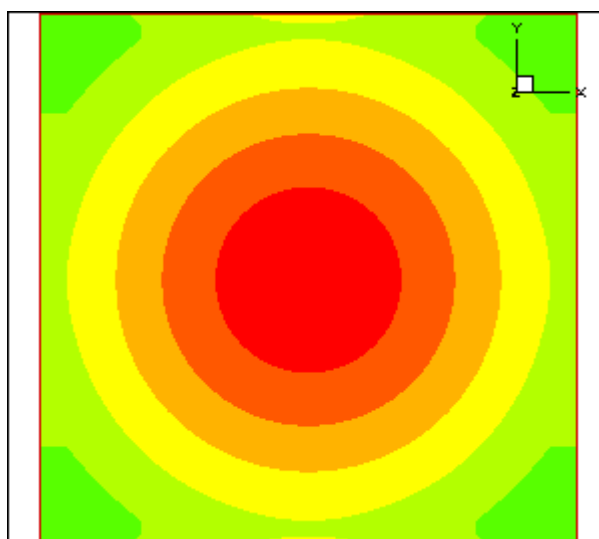


これは signed distance 関数の 0 等値面を出力したのですが、これが気相と固液相の境界

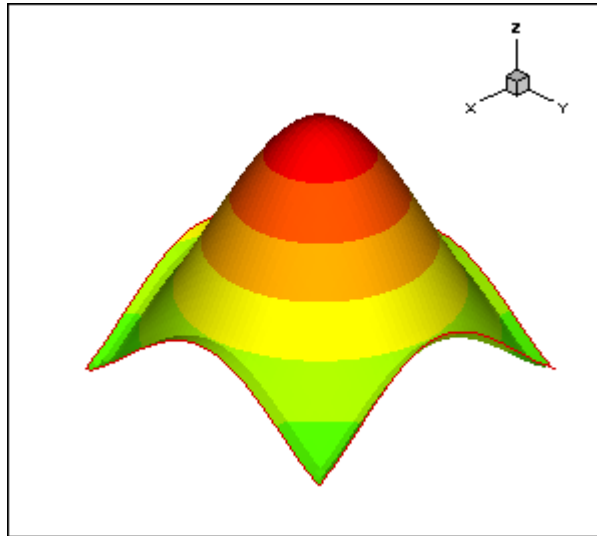
を表します。また、以下に **signed distance** 関数の正の部分を赤く、負の部分を青く色分けして表示します。



正の赤い部分が、気相をあらわします。また負の青い部分が、固液相を表します。初期条件におけるこれらの気相、固液相界面の設定は簡単なものは、**input.txt** で設定できます。複雑なものは、**geometry.txt** に所定のフォーマットに従って設定していただけます。固液相の内部でどのように溶液が固体部分から溶けて出てくるか、あるいは溶液部分がどのように固体に凝固していくか等については他のファイル、**LiquidMassFraction**、あるいは**SolidMassFraction**をモニタするとわかります。これらはフラグひとつで出力できます。つぎに温度を見てみましょう。



これは気相と固相の界面の温度分図です、 $z$  軸の上方から見た図です温度を縦軸にとって温度プロファイルを見た図が以下です。



z 軸上方より下方に向けて 1kW の Gaussian beam を照射した結果としてセンタの温度が上昇している様子がわかります。Laser beam は各種の設定ができ、また時間とともに設定を変化させたり、制御することができます。それらは、`laser_schedule.txt`、`laser_profile.txt` 等を用いて行います。今行ったの計算では最高温度が 1567.87K ですのでもまだ Solidus temperature に達していません。ですからまだ熔融は起きていません。次のチュートリアルでは、今回の計算結果を利用して再スタートし、液相が生じる様子を確認してみましょう。

## 1.2 チュートリアル2

チュートリアル1で使用したディレクトリ (`work/tutorial`) に入ります。必要があれば、コピーを別のディレクトリに保存しておく、何か手違いが起きたときにすぐに復旧できます。

前回計算は、100 回の iteration まで終了しています。100 回目の計算から再出発するためには、チュートリアル1で説明した7つのファイル以外に、以下のファイルが必要です。

`sdf000100.bin`

`mass_fraction000100.bin`

`sdf_prms000100.bin`

`pressure000100.bin`

`temperature000100.bin`

`velocity000100.bin`

`restart000100.txt`

これらがあることを確認したら、まず `restart000100.txt` を `restart.txt` に copy します。

例えば以下のようにします。

```
$ cp restart000100.txt restart.txt
```

次に、input.txt を編集します。

```
start_condition      =      initial
```

と記されている部分を以下のように書き換えてください。

```
start_condition      =      restart
```

次に

```
number_of_iteration  =      100
```

と記されている部分を以下のように書き換えてください。

```
number_of_iteration  =      5000
```

計算回数は 5000 回にまで拡張されます。

次に

```
interval_write       =      100
```

と記されている部分を以下のように書き換えてください。

```
interval_write       =      1000
```

1000 回ごとに計算結果を出力します。

次に

```
write_liquid_mass_fraction      = .false.
```

と記されている部分を以下のように書き換えてください。

```
write_liquid_mass_fraction      = .true.
```

LiquidMassFraction\*\*\*\*\*.data が出力されます。

次に

```
include_surface_tension =      .false.
```

と記されている部分を以下のように書き換えてください。

```
include_surface_tension =      .true.
```

表面張力の効果を計算に組み込みます。以上の変更が終了したら、計算を実行します。例えば以下のようにして計算を実行します。

```
$ ../../Release/welding.exe
```

num_itr	time(sec)	num_fs	div_v	div_v/div_pv
110	0.00011	0	0.00000E+00 NaN	NaN
120	0.00012	0	0.00000E+00 NaN	NaN
130	0.00013	0	0.00000E+00 NaN	NaN
140	0.00014	0	0.00000E+00 NaN	NaN
150	0.00015	0	0.00000E+00 NaN	NaN
160	0.00016	0	0.00000E+00 NaN	NaN
170	0.00017	0	0.00000E+00 NaN	NaN
180	0.00018	0	0.00000E+00 NaN	NaN

190	0.00019	0	0.00000E+00 NaN	NaN
200	0.00020	0	0.00000E+00 NaN	NaN
210	0.00021	0	0.00000E+00 NaN	NaN
220	0.00022	0	0.00000E+00 NaN	NaN

.....

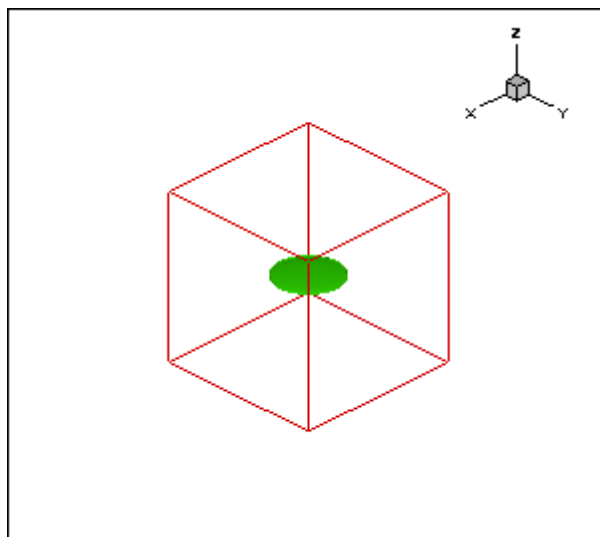
計算の初期においては速度の計算を行っていないため、NaN などが出力されています。これは溶解が始まる前から速度場も含めて計算すると肝心な溶融状態の計算に入るまでの、固体の温度を溶解温度まで持っていくまでに、膨大な計算時間を要してしまうことから、気相が固相の温度上昇に影響する等の事実はひとまず無視して、温度場の計算だけを、溶解が始まるまでは、行うというやり方をデフォルトとして採用していることによります。他の方法として、より近似の強い解析解を初期値として与えてやるという方法もあるでしょう。

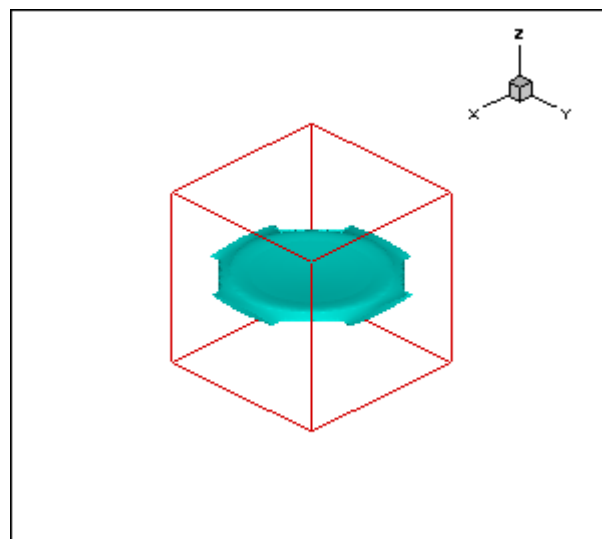
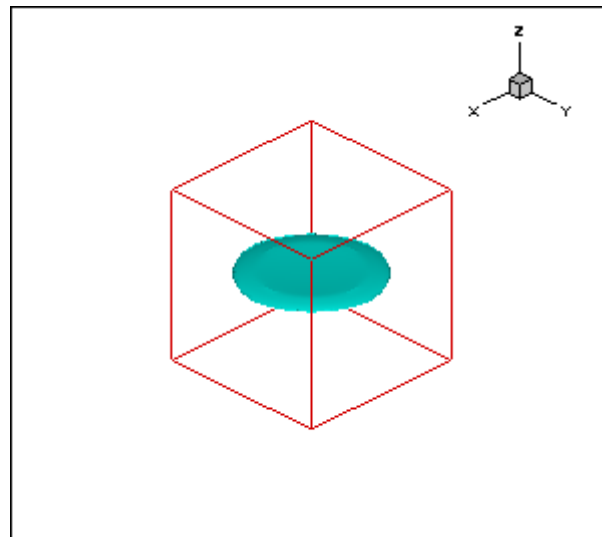
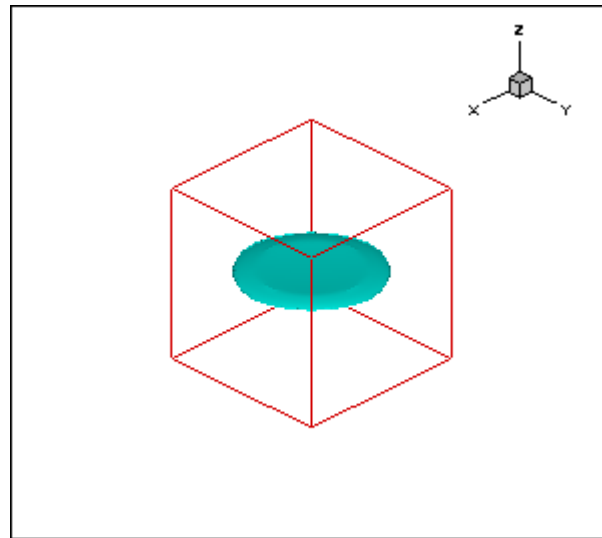
450	0.00045	0	0.00000E+00 NaN	NaN
460	0.00046	0	0.00000E+00 NaN	NaN
470	0.00047	0	0.00000E+00 NaN	NaN
480	0.00048	0	0.00000E+00 NaN	NaN
490	0.00049	0	0.00000E+00 NaN	NaN
500	0.00050	0	0.00000E+00 NaN	NaN
510	0.00051	0	0.00000E+00 NaN	NaN
520	0.00052	0	0.00000E+00 NaN	NaN
530	0.00053	0	0.00000E+00 NaN	NaN
540	0.00054	0	0.00000E+00 NaN	NaN
550	0.00055	0	0.50799E-03	0.48499E+00
560	0.00056	0	0.84761E-03	0.31388E+00
570	0.00057	0	0.11050E-02	0.21969E+00
580	0.00058	0	0.17205E-02	0.19828E+00
590	0.00059	0	0.25822E-02	0.18494E+00
600	0.00060	0	0.38619E-02	0.17664E+00
610	0.00061	0	0.56849E-02	0.17361E+00
620	0.00062	0	0.79804E-02	0.16819E+00
630	0.00063	0	0.10624E-01	0.16099E+00
640	0.00064	0	0.13885E-01	0.15426E+00
650	0.00065	0	0.17837E-01	0.14781E+00
660	0.00066	0	0.30004E-01	0.18856E+00
670	0.00067	0	0.40543E-01	0.19298E+00

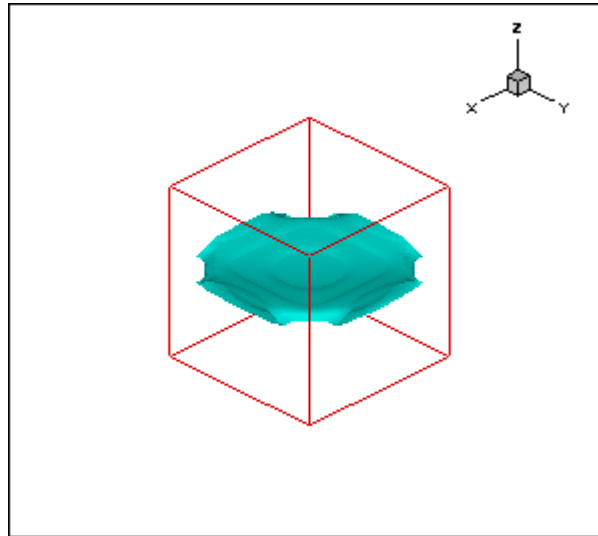
以上を見ると、iteration=540 から iteration=550 の間で、速度場計算が ON していることがわかります。この間に固相の最高温度が、eutectic temperature の 1766.0K あるいは solidus temperature に達したことがわかります。ここで fluid solver の収束判定について 2, 3 考えてみましょう。まず、ディスプレイに表示している、div\_v は発散  $div\bar{u}$  の絶対値の空間における最大値を無次元量で表現したものです。多くの場合、気相の速度が著しく変化するような領域で生じ、時々刻々生じる場所は変化します。今計算で採用している criterion はかなり甘いものですが、その感覚を得るために、次元化してみましょう。発散は時間の逆数の次元を持っていて、本計算における代表時間は 10.0sec ですので、今回の発散の criterion は

$$10^{-2} s^{-1}$$

となります。これは、もしこの値を発散が同じ空間のある地点において 1sec の間維持したら、その空間セル内の 1% の mass が損なわれるか、あるいは付け加わってしまうよ、という類の量です。多くの実用計算でははるかに強い拘束を課すのですが、気相と固液相の計算ではあまり実用的ではありません。いくつかのいいわけをするならば、つねに固液相の発散は、気相のそれよりひとけたから、ふたけた値が小さいこと、空間の大部分では、もっと小さい発散量を維持していること、発散の criterion を著しく上げてもそれほど計算結果に差が出ないことが多いなどがあげられますが、より良い値が得られることが好ましいことに相違ありません。また今回は reinitialization においてはもちろんのこと（実はナイーブに計算した場合には、reinitialization で上述の何百倍ものマスが失われます。）level set の発展方程式においてもマスを完全に保存する拘束を課すことができるようになっていきます。正当性については、計算結果を待つしかないように思います。では、計算結果を見ていきましょう。







以上は `time=0.001sec` から `time=0.005sec` の間の `liquid mass fraction` の `0.25` 等値面です。温度が最も早く上昇する、中心部で溶解が始まり、徐々に回りに広がっていきます。次に速度場を確認してみましょう。先ほど `input.txt` を編集した際に速度場を出力するフラグを立てなかったため、速度場は出力されていないはずですが、最初から計算しなおす必要はありません。まず、`restart.txt` を以下のように変更します。

```
$ cp restart005000.txt restart.txt
```

次に `input.txt` を以下のように修正します。

```
write_velocity = .false.
```

を

```
write_velocity = .true.
```

と修正する。

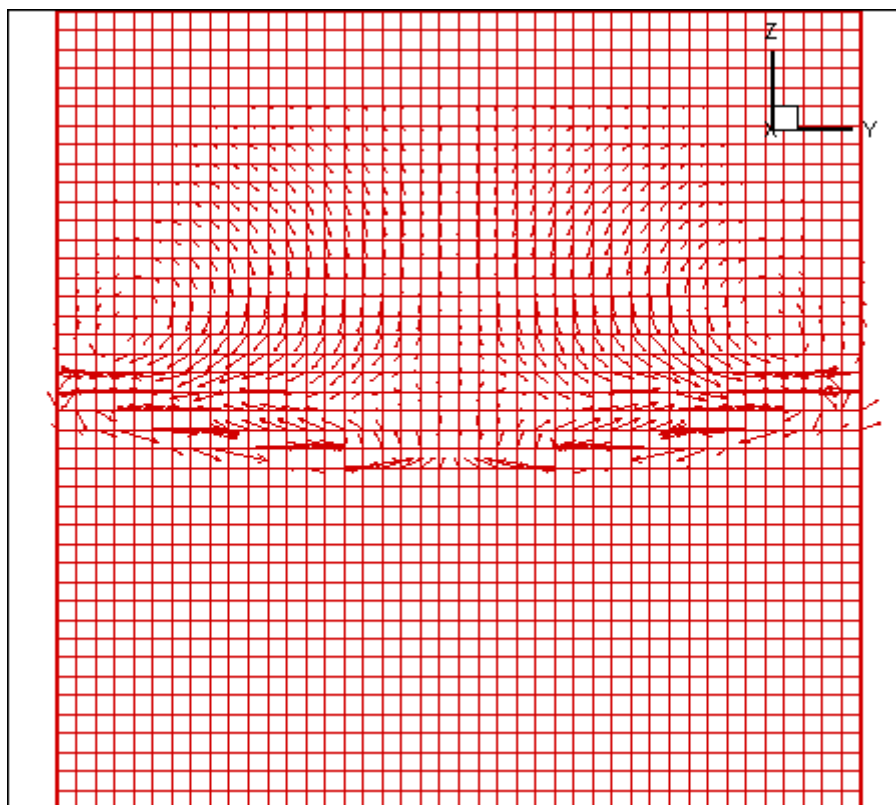
これで、例えば以下のように計算を実行すると、

```
$ ../../Release/welding.exe
```

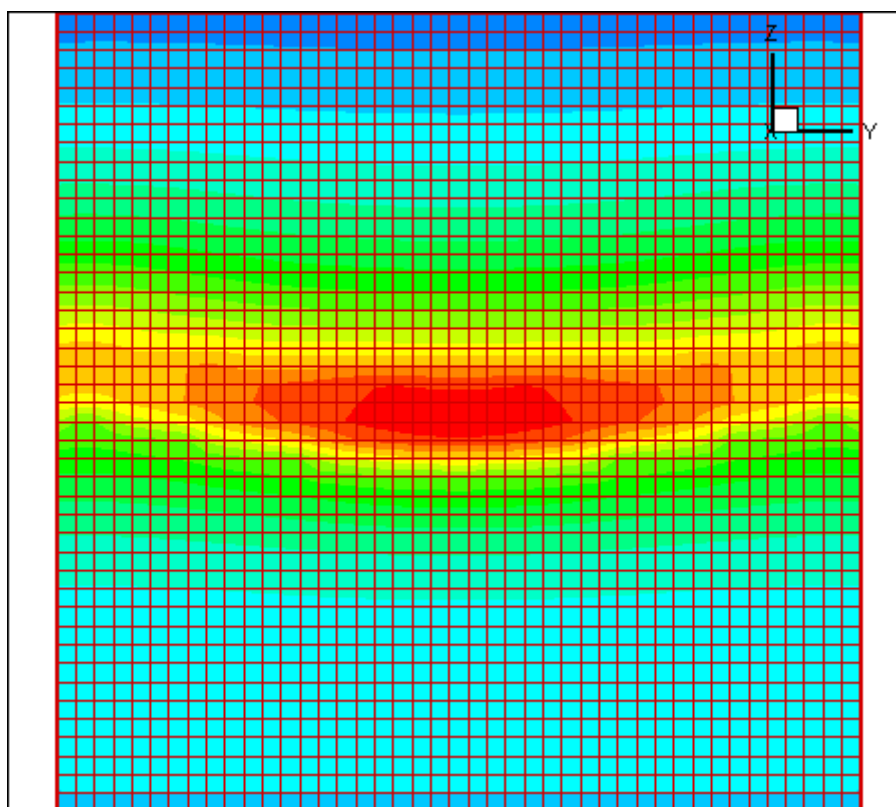
```
num_itr      time(sec)    num_fs      div_v      div_v/div_pv
```

と、計算がすぐに終了します。`VelocityS005001.data` を表示すると、以下のようになります。表面張力が温度の勾配によりドライブされている様を観察できます。今回の物質は温度勾配係数が負ですので高温領域から、低温領域へ溶融物が流されています。つまり、表面においては、中心部から周辺部へ溶融物は流れ、内部領域では逆向きに、周辺部から中心部へ向けて流れが生じています。

速度場



温度場



### 1.3 チュートリアル3

本チュートリアルでは、`geometry.txt` を簡単に編集して、少し複雑な形状を `laser beam` で加熱溶解してみましょう。まず `work/tutorial3` に移動しましょう。本題に入る前に、計算領域について説明します。計算領域は、実際に以下の物理場や補助関数が計算される、空間領域で、直方体をしています。

計算領域で定義される物理量

Velocity

Pressure

Temperature

Liquid mass fraction

Solid mass fraction

Signed distance function

計算領域は、`input.txt` の

```
nx          =          40
ny          =          40
nz          =          40
```

```
dx          =          0.00004          # [m]
dy          =          0.00004          # [m]
dz          =          0.00004          # [m]
```

(現在のところ `dx=dy=dz` しかサポートしていません。)

の6つの `entry` から以下の8点を定義して、それから張られる直方体として定義できます。

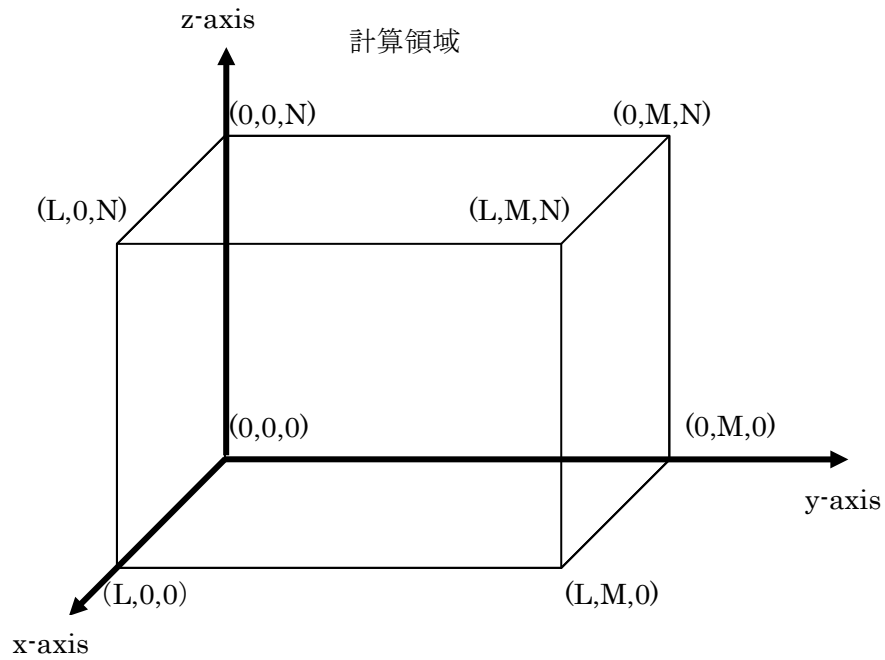
$(0,0,0), (L,0,0), (0, M,0), (L, M,0), (0,0, N), (L,0, N), (0, M, N), (L, M, N)$

ここで

$$L = nx \times dx \quad (m)$$

$$M = ny \times dy \quad (m)$$

$$N = nz \times dz \quad (m)$$



今回行う計算では、

$$L = 40 \times 0.00004 = 0.0016$$

$$M = 40 \times 0.00004 = 0.0016$$

$$N = 40 \times 0.00004 = 0.0016$$

ですので、一辺が 1.6mm の立方体が計算領域になっています。

この計算領域に、様々な形の物質を配置するのが `geometry.txt` です。`geometry.txt` のフォーマットは以下ようになります。

`num_polygon`

`x1 y1 z1`

`x2 y2 z2`

`x3 y3 z3`

`x4 y4 z4`

.....

.....

`xnum_polygon×3 ynum_polygon×3 znum_polygon×3`

細かい三角形をいくつか配置して形状を表現します。

`x1 y1 z1`

`x2 y2 z2`

$x_3$      $y_3$      $z_3$

が最初の三角形の3つの空間座標を表します。以下

$x_4$      $y_4$      $z_4$

$x_5$      $y_5$      $z_5$

$x_6$      $y_6$      $z_6$

が2番目の三角形の3つの空間座標を、

$x_7$      $y_7$      $z_7$

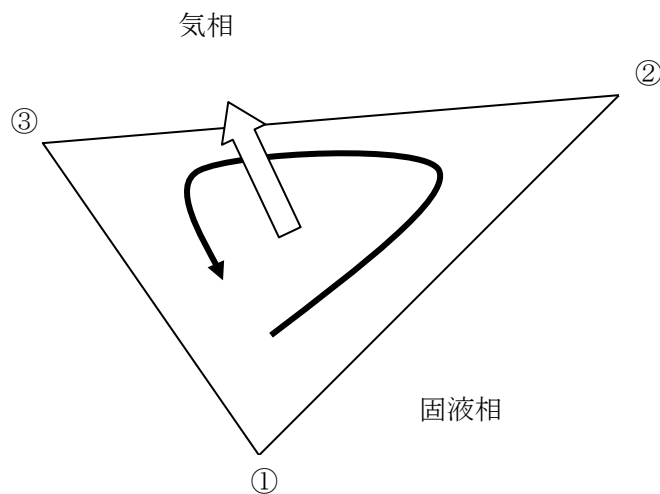
$x_8$      $y_8$      $z_8$

$x_9$      $y_9$      $z_9$

が3番目の三角形の3つの空間座標を表します。

三角形は好きなだけ配置することができます。

三角形には向きがあって、右ねじの向きに（座標が記述された順番に従って右ねじを回したときに右ねじが進む方向）**signed distance** 関数は正の値をとります。そしてそれは気相が配置される側になります。



例 1

$z = 0.8mm$  を通って、 $z$  軸に垂直な平面で気相—物質界面をつくり、 $z > 0.8mm$  を気相で満たし、 $z < 0.8mm$  を物質で満たしたいときは、

2

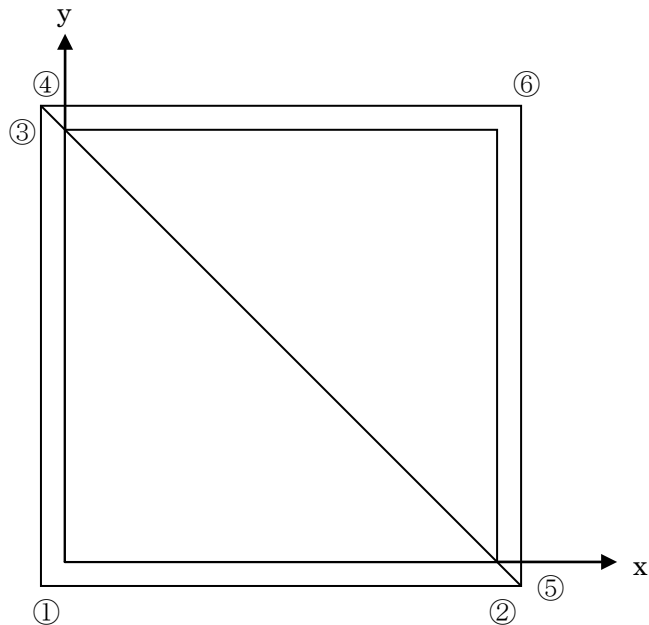
-0.0001	-0.0001	0.0008
0.0017	-0.0001	0.0008
-0.0001	0.0017	0.0008

```

-0.0001      0.0017      0.0008
 0.0017      -0.0001     0.0008
 0.0017      0.0017      0.0008

```

などとします。やり方は一通りではありません。



それでは実際にためしてみましよう。

上の例に従って `geometry.txt` を編集してください。あるいは、`example1.txt` に同じことがすでに記されていますので、それを `geometry.txt` にコピーしてください。

次に `input.txt` の関係箇所を書き換えます。

```
sdf_initial_mode      =      plane                # plane, sphere, file_input
```

となっている部分を以下のように書き換えます。

```
sdf_initial_mode      =      file_input           # plane, sphere, file_input
```

#以降はコメント文なのでコンピュータには読み込まれません。これで、`signed distance` 関数が、`geometry.txt` から読み込まれて初期化されます。`signed distance` 関数が出力されるよう、

```
write_signed_distance      = .true.
```

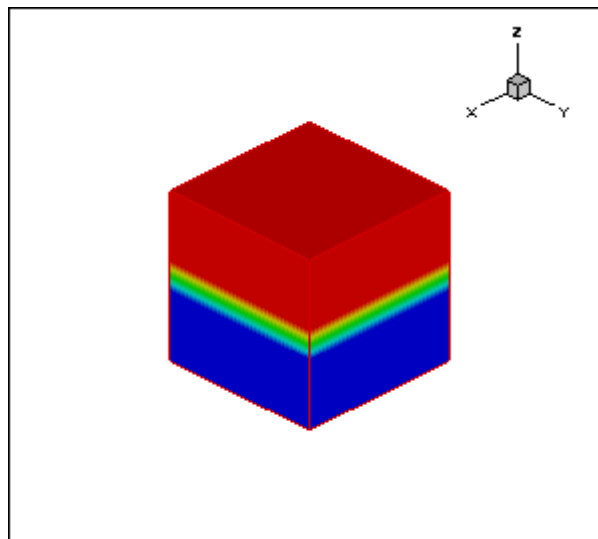
となっていることを確認したらソルバーを実行します。

```
$ ../Release/welding.exe
```

num_itr	time(sec)	num_fs	div_v	div_v/div_pv
10	0.00001	0	0.00000E+00 NaN	NaN
20	0.00002	0	0.00000E+00 NaN	NaN

30	0.00003	0	0.00000E+00 NaN	NaN
40	0.00004	0	0.00000E+00 NaN	NaN
50	0.00005	0	0.00000E+00 NaN	NaN
60	0.00006	0	0.00000E+00 NaN	NaN
70	0.00007	0	0.00000E+00 NaN	NaN
80	0.00008	0	0.00000E+00 NaN	NaN
90	0.00009	0	0.00000E+00 NaN	NaN
100	0.00010	0	0.00000E+00 NaN	NaN

計算が終了したら、正しく物質領域が定義されているか、**SDF000100.data** をチェックしてみましょう。



図では赤い部分が正の部分、青い部分が負の部分になっていますので、正しく領域が配置されたことがわかります。

〔追記〕 この例にあるぐらいの物質形状だと、わざわざ **geometry.txt** を編集しなくても **input.txt** を以下のように編集しても同じことができます。これらに関する詳細な説明は、入力ファイルの説明を行う章で改めて、行います。

```
sdf_initial_mode      =      plane          # plane, sphere, file_input
sdf_initial_radius    =      0.010          # [m]
sdf_initial_center    =      0.0008  0.0008  0.0008  # [m]
sdf_initial_direction =      0.0    0.0    1.0
```

以下の例を実際にやってみる場合には、

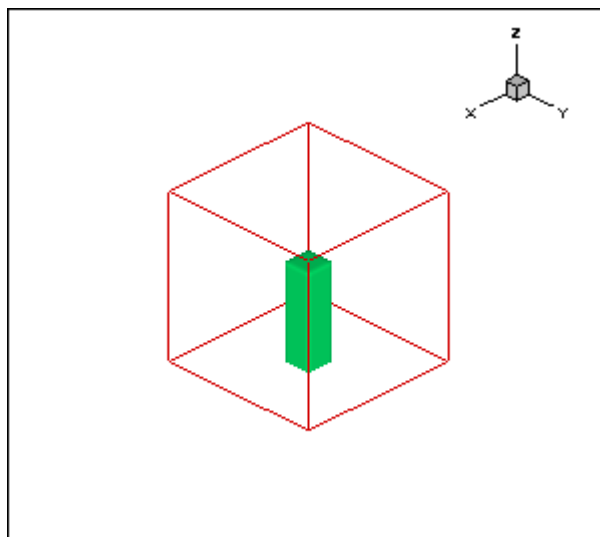
```
sdf_initial_mode      =      file_input
```

になっていることを、しっかり確認してください

例 2 pole\_up\_dim\_1.6mm.txt

pole\_up\_dim\_1.6mm.txt を geometry.txt に copy してソルバーを実行します。

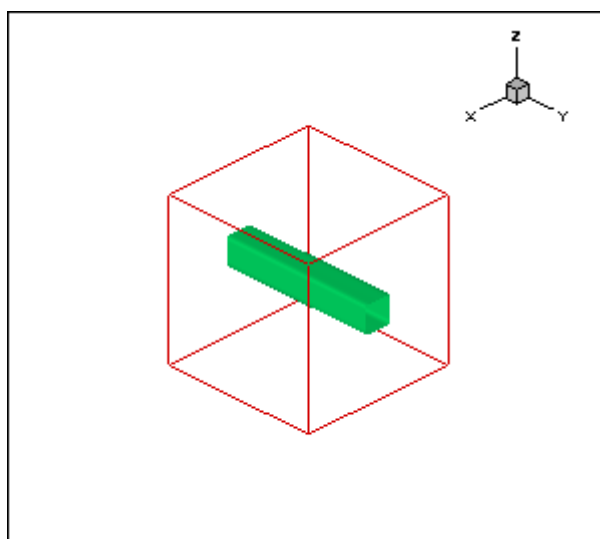
以下の物質形状が得られます。



例 3 pole\_lay\_dim\_1.6mm.txt

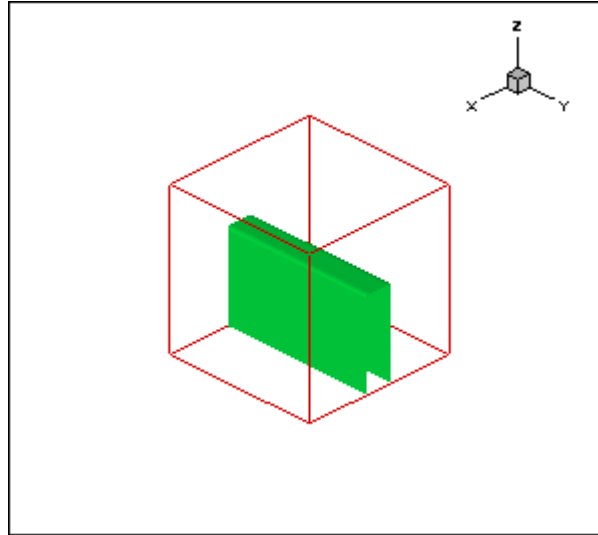
pole\_lay\_dim\_1.6mm.txt を geometry.txt に copy してソルバーを実行します。

以下の物質形状が得られます。



例 4 edge\_up\_dim\_1.6mm.txt

edge\_up\_dim\_1.6mm.txt を geometry.txt に copy してソルバーを実行します。  
以下の物質形状が得られます。



1.4 チュートリアル4

本チュートリアルでは、レーザービームの制御の仕方を学習します。今回、実装したのは、  
Gaussian beam

$$\tilde{u}(x, y, z) = \left(\frac{2}{\pi}\right)^{\frac{1}{2}} \frac{\exp[-ikz + i\psi(z)]}{w(z)} \exp\left[-\frac{x^2 + y^2}{w^2(z)} - ik\frac{x^2 + y^2}{2R(z)}\right]$$

Hermite-Gaussian Mode

$$\tilde{u}_{nm}(x, y, z) = \left(\frac{2}{\pi}\right)^{\frac{1}{2}} \frac{\exp[i(m+n+1)\psi(z)]}{\sqrt{2^m m! w(z)} \sqrt{2^n n! w(z)}} H_m\left(\frac{\sqrt{2}x}{w(z)}\right) H_n\left(\frac{\sqrt{2}y}{w(z)}\right) \exp\left[-ikz - ik\frac{x^2 + y^2}{2R(z)}\right] \exp\left[-\frac{x^2 + y^2}{w^2(z)}\right]$$

Laguerre-Gaussian Mode

$$\tilde{u}_{pm}(r, \theta, z) = \sqrt{\frac{2p!}{\pi(m+p)!}} \frac{\exp[i(2p+m+1)(\psi(z) - \psi_0)]}{w(z)} \left(\frac{\sqrt{2}r}{w(z)}\right)^m L_p^m\left(\frac{2r^2}{w^2(z)}\right) \exp\left[-ikz - ik\frac{r^2}{2R(z)} - im\theta - \frac{r^2}{w^2(z)}\right]$$

ここで

$$w(z) = w_0 \sqrt{1 + \left(\frac{z}{z_R}\right)^2}$$

$$R(z) = z + \frac{z_R^2}{z}$$

$$\psi(z) = \tan^{-1}\left(\frac{z}{z_R}\right)$$

$$z_R = \frac{1}{2}kw_0^2 = \frac{\pi}{\lambda}w_0^2$$

です。

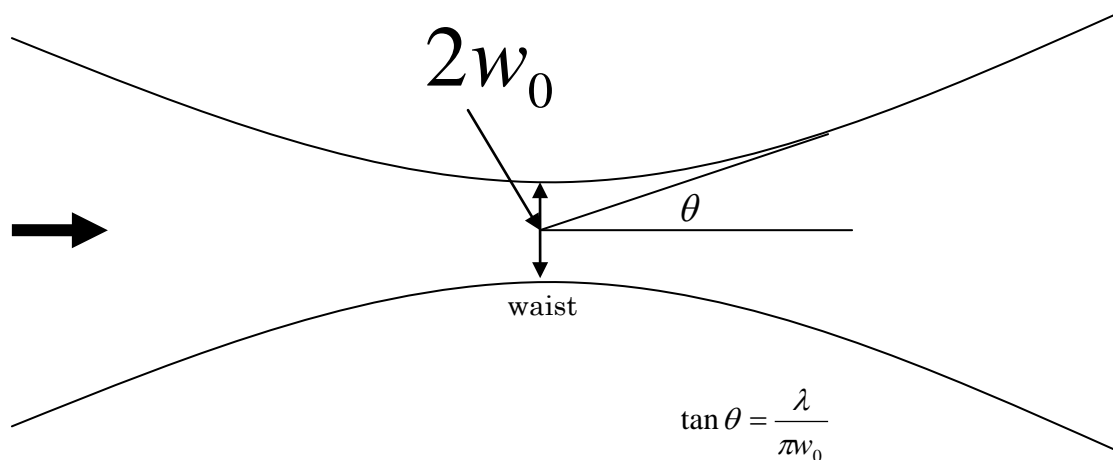
Gaussian beam の profile は waist size  $w_0$  と、beam の波長  $\lambda$  だけで決まることがわかります。以上の3つは wave equation の paraxial approximation から導出されますが、以下のファイルから読み込む任意形状用の laser beam はそれよりもいい加減なもので、wave equation の解にはなっていませんが、便宜上の理由で実装しました。

ファイルからの任意形状

$$\tilde{u}(x, y, z) = \text{Pr}(x, y) \frac{\exp[-ikz + i\psi(z)]}{w(z)} \exp\left[-ik \frac{x^2 + y^2}{2R(z)}\right]$$

ここで  $\text{Pr}(x, y)$  は適当に規格化された形状関数です。

以下に Gaussian beam の伝播の様子を示します。



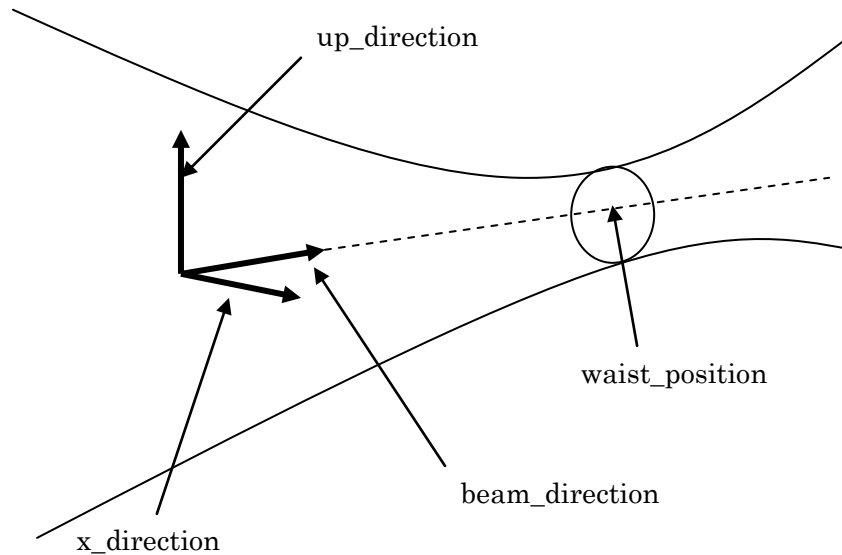
beam が最も絞れているところを **waist**(ウェスト)と呼びます。**waist** における beam 幅が大体  $2w_0$  です。  $w_0$  が小さければ小さいほど、また beam の波長  $\lambda$  が、大きければ大きいほど遠方で beam は大きく広がります。 **input.txt** を見てみると、beam を特徴づける entry として以下のものがあります。

```
# Laser beam parameters
include_laser_beam      =      .true.
use_laser_schedule     =      .false.
laser_wave_length      =      1.064e-6          # [m]
power_transmitted_by_the_beam =      200          # [W]
waist_size              =      1.2e-3          # [m]
waist_position         =      0.0008  0.0008  0.0008  # [m]
beam_direction        =      0.0  0.0  -1.0          # [non dim]
up_direction          =      0.0  1.0  0.0          # [non dim]
laser_mode            =      Gaussian          # Gaussian
                                                              # Hermite_Gaussian
                                                              # Laguerre_Gaussian
                                                              # file_input

laser_order_m         =      3
laser_order_n         =      3
times_diffraction_limited =      5
quality_factor        =      1.2
```

ここではまず、 **waist\_position**、 **beam\_direction**、 **up\_direction** の説明をします。

**waist\_position** は beam を最も絞った点の中心の座標を表します。 **beam\_direction** は **laser\_beam** のエネルギーの流れる方向を表す、方向ベクトルです。 **Hermite-Gaussian Mode** や任意形状プロファイルでは、 **beam\_direction** に垂直な面内における座標を特定する必要が生じますが、 **up\_direction** は beam に垂直な面内において **y** 軸方向を定義するのに用いられます。この **y** 軸は、前のチュートリアルで定義した、空間領域を定義するために用いた座標とは異なります。



それでは実際に計算してこれらのパラメータの意味を確認してみましょう。まず、計算領域は、前チュートリアルの場合と同じものを選びます。つまり、1.6mm 四方の立方体の空間領域に、0.8mm までの高さの物質を満たします。そのために、input.txt の関連箇所が以下のようにになっていることを確認しましょう。

```
sdf_initial_mode      =      plane          # plane, sphere, file_input
sdf_initial_center    =      0.0008  0.0008  0.0008  # [m]
sdf_initial_direction =      0.0    0.0    1.0
```

次に、この物質に対して鉛直上方から（z 軸の正の側から）z 軸の負の方向へ向けて、 $w_0 = 0.2\text{mm}$  の Gaussian beam を照射しましょう。また up\_direction は実際の y 軸と一致するように選びます。input.txt の関連箇所が以下のようにになっていることを確認しましょう。

```
include_laser_beam    =      .true.
レーザービームを計算に加えることを指定します。

laser_wave_length     =      1.064e-6      # [m]
レーザーの波長を指定します。

power_transmitted_by_the_beam =      200      # [W]
レーザーが総量として単位時間当たりのエネルギー量を指定します。

waist_size             =      0.2e-3      # [m]
上で与えた式における、 $w_0$  の値を指定します。
```

```

waist_position          =      0.0008   0.0008   0.0008      # [m]

```

ビームのウェスト位置を計算領域の中央に指定します。

```

beam_direction          =      0.0   0.0  -1.0              # [non dim]

```

ビームの照射方向を z 軸の負の方向に決めます。

```

up_direction           =      0.0   1.0   0.0              # [non dim]

```

ビームの照射方向に垂直な面内における y 方向を計算領域の y 方向と一致させます。

```

laser_mode             =      Gaussian

```

Gaussian beam を照射します。

以下のように温度の計算結果が出力されるよう設定されていることを確認しましょう。

```

write_temperature      = .true.

```

それでは計算を実行しましょう。

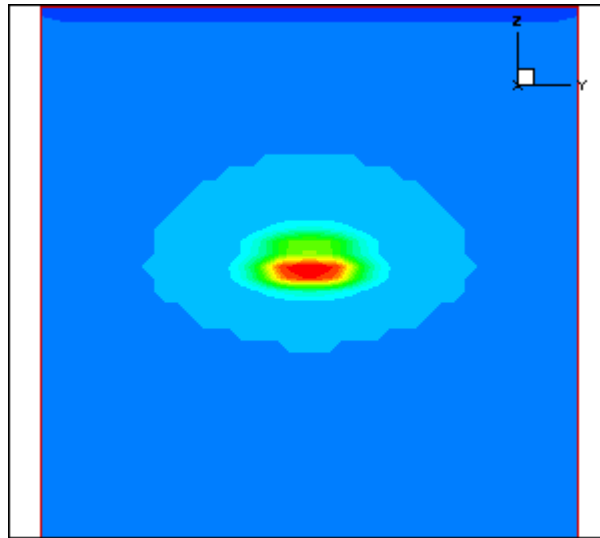
```
$ ../../Release/welding.exe
```

num_itr	time(sec)	num_fs	div_v	div_v/div_pv
10	0.00001	0	0.00000E+00 NaN	NaN
20	0.00002	0	0.00000E+00 NaN	NaN
30	0.00003	0	0.00000E+00 NaN	NaN
40	0.00004	0	0.00000E+00 NaN	NaN
50	0.00005	0	0.00000E+00 NaN	NaN
60	0.00006	0	0.00000E+00 NaN	NaN
70	0.00007	0	0.00000E+00 NaN	NaN
80	0.00008	0	0.00000E+00 NaN	NaN
90	0.00009	0	0.00000E+00 NaN	NaN
100	0.00010	0	0.00000E+00 NaN	NaN

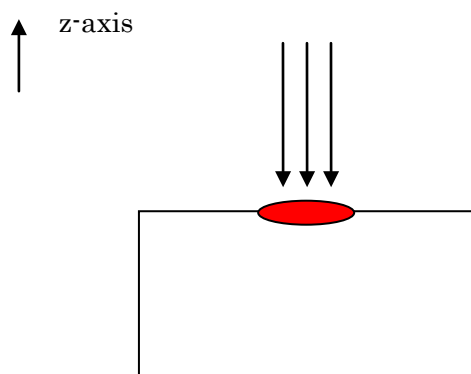
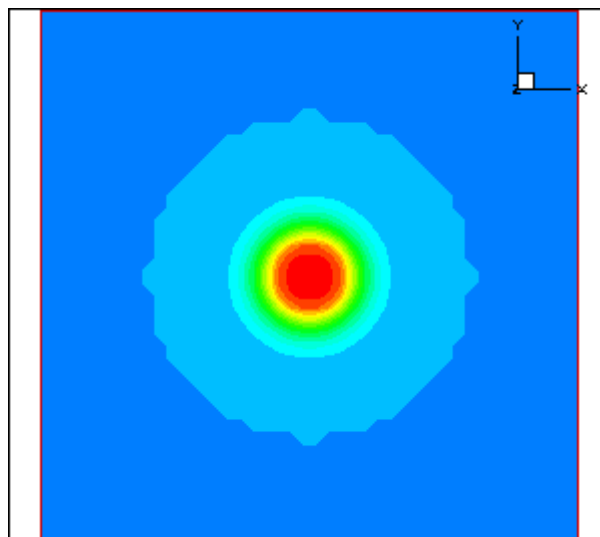
計算が終了したら、温度分布を `Temperature000100.data` など確認してみましょう。

x 軸の正の方向から見た温度分布では、物質の界面がレーザーにより照射されて温度が上昇している様子を確認できます。また、レーザーの照射方向である、z 軸の正の方向から見た温度分布では、レーザーが界面に垂直に照射し Gauss 分布らしく完全な円対称が確認できます。

x 軸の正の方向から見た温度分布



z 軸の正の方向から見た温度分布



次に `up_direction` の意味がわかりやすい例を考えて見ましょう。そのために、`laser_mode` として `Hermite_Gaussian` を選択します。以下のように、`input.txt` を編集してください。

```
laser_mode           =      Hermite_Gaussian
laser_order_m       =          3
laser_order_n       =          2
```

これで `beam` に `local` な座標系で `x` 軸方向のオーダーが 3、`y` 軸方向のオーダーが 2 の `Hermite-Gaussian beam` が先ほどと同じ方向へ照射されることとなります。それでは、実行してみましょう。

```
$ ../../Release/welding.exe
```

num_itr	time(sec)	num_fs	div_v	div_v/div_pv
10	0.00001	0	0.00000E+00 NaN	NaN
20	0.00002	0	0.00000E+00 NaN	NaN
30	0.00003	0	0.00000E+00 NaN	NaN
40	0.00004	0	0.00000E+00 NaN	NaN
50	0.00005	0	0.00000E+00 NaN	NaN
60	0.00006	0	0.00000E+00 NaN	NaN
70	0.00007	0	0.00000E+00 NaN	NaN
80	0.00008	0	0.00000E+00 NaN	NaN
90	0.00009	0	0.00000E+00 NaN	NaN
100	0.00010	0	0.00000E+00 NaN	NaN

計算が終了したら、温度分布を `Temperature000100.data` などで確認してみましょう。

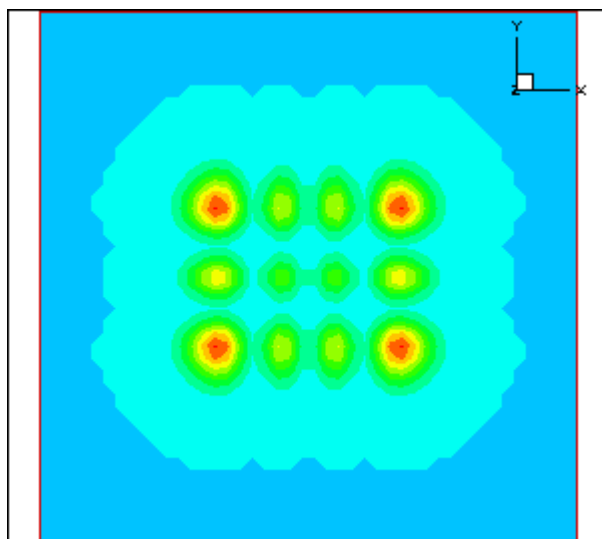
`z` 軸の正の方向から物質界面の温度分布を観察してみると、`x` 軸方向に 3 つの零点が、`y` 軸方向に 2 つの零点が確認できると思います。それでは次に、`input.txt` の `up_direction` を以下のように書き直してもう一度計算を実行してみましょう。

```
up_direction           =          1.0  0.0  0.0
```

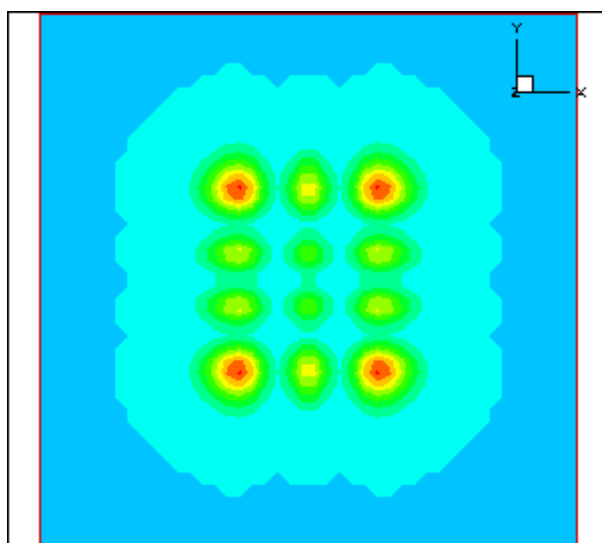
`Hermite-Gaussian Mode` の実際のビームの幅はおおよそ以下のように広がります。

$$\approx 2\sqrt{nw}(z)$$

up\_direction=(0.0, 1.0, 0.0)の時の表面の温度分布



up\_direction=(1.0, 0.0, 0.0)の時の表面の温度分布

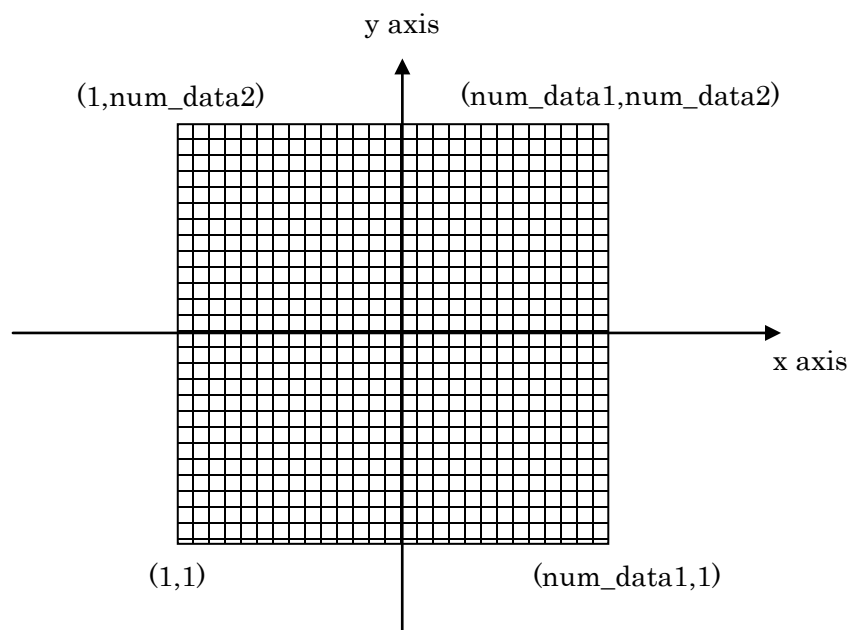


本チュートリアル最後に、ファイルからビームのプロファイルを読み込む形の、レーザービーム照射について学習しましょう。この mode はあまり正確ではありませんが、いろいろなビーム形状をとにかく試してみたいというときに便利かもしれません。

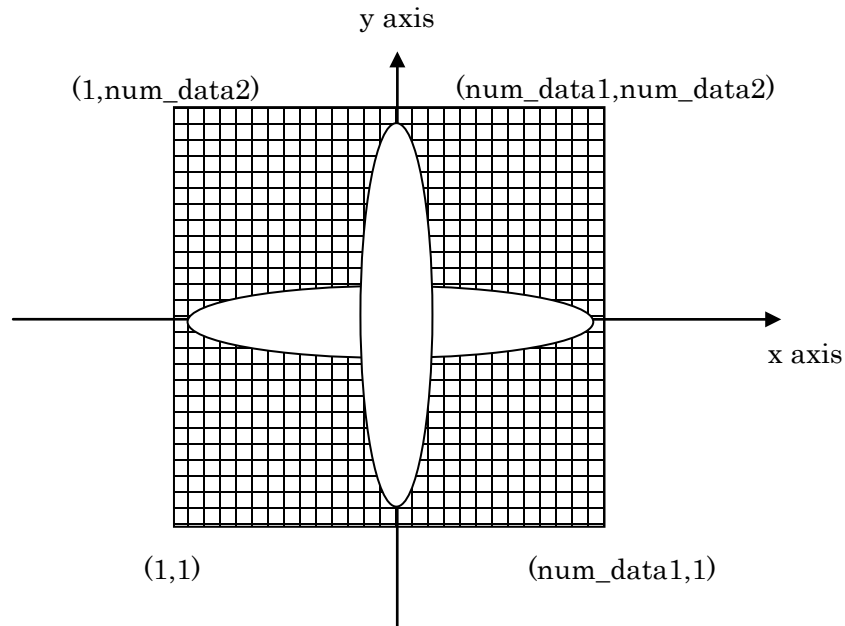
ビームのプロファイルを設定するには、laser\_profile.txt を編集します。laser\_profile.txt のフォーマットは以下のようになります。

```
num_data1    num_data2
data(1,1)
data(2,1)
data(3,1)
```

```
data(num_data1,num_data2)
```



ここで `num_data1` と `num_data2` は必ずしも等しくする必要はありませんが、どちらも奇数を指定してください。 `data(i,j)` には図に示した、対応する点のレーザー強度を記述してください。強度は、相対的なものでいいです。内部で適切に規格化を行います。では、例として以下の強度分布を持つレーザービームの、 `laser_profile.txt` を作成してみましょう。



まず、以下のフォートランプログラムを作成します。

```

program main
  implicit none
  integer:: i, j, n
  real:: x, y, d, int

  n=21
  d=2.0/(n-1)
  write(6,' (2i5) '), n, n
  do j=1, n
    y=-1.0+d*real(j-1)
    do i=1, n
      x=-1.0+d*real(i-1)
      int=exp(-x**2-(y*10.0)**2)+exp(-(x*10.0)**2-y**2)
      write(6,' (e19.6) ') int
    end do
  end do
end program main

```

上述のプログラムを例えば、beam\_profile.exe という名前でコンパイルしてから、以下の

ように実行します。

```
$ ../Debug/laser_profile.exe > laser_profile.txt
```

すると `laser_profile.txt` が作成されますが、こうして作られた、`laser_profile.txt` が `tutorial4` の中にすでに入っています。これだけではまだソルバーは `laser_profile.txt` を読みについてくれません。`input.txt` に以下の修正を加えます。

```
laser_mode = Hermite_Gaussian
```

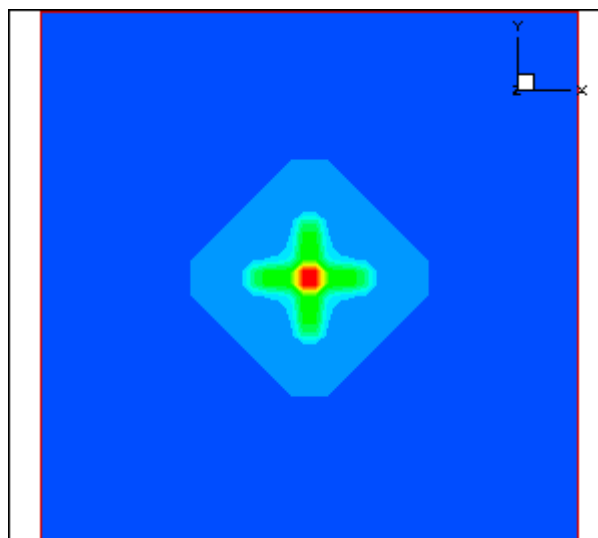
とあるのを以下のように修正してください。

```
laser_mode = file_input
```

これで、ソルバーを実行できます。

```
$ ../../Release/welding.exe
```

num_itr	time(sec)	num_fs	div_v	div_v/div_pv
10	0.00001	0	0.00000E+00 NaN	NaN
20	0.00002	0	0.00000E+00 NaN	NaN
30	0.00003	0	0.00000E+00 NaN	NaN
40	0.00004	0	0.00000E+00 NaN	NaN
50	0.00005	0	0.00000E+00 NaN	NaN
60	0.00006	0	0.00000E+00 NaN	NaN
70	0.00007	0	0.00000E+00 NaN	NaN
80	0.00008	0	0.00000E+00 NaN	NaN
90	0.00009	0	0.00000E+00 NaN	NaN
100	0.00010	0	0.00000E+00 NaN	NaN



z 軸の正の方向からみた温度分布

## 1.5 チュートリアル5

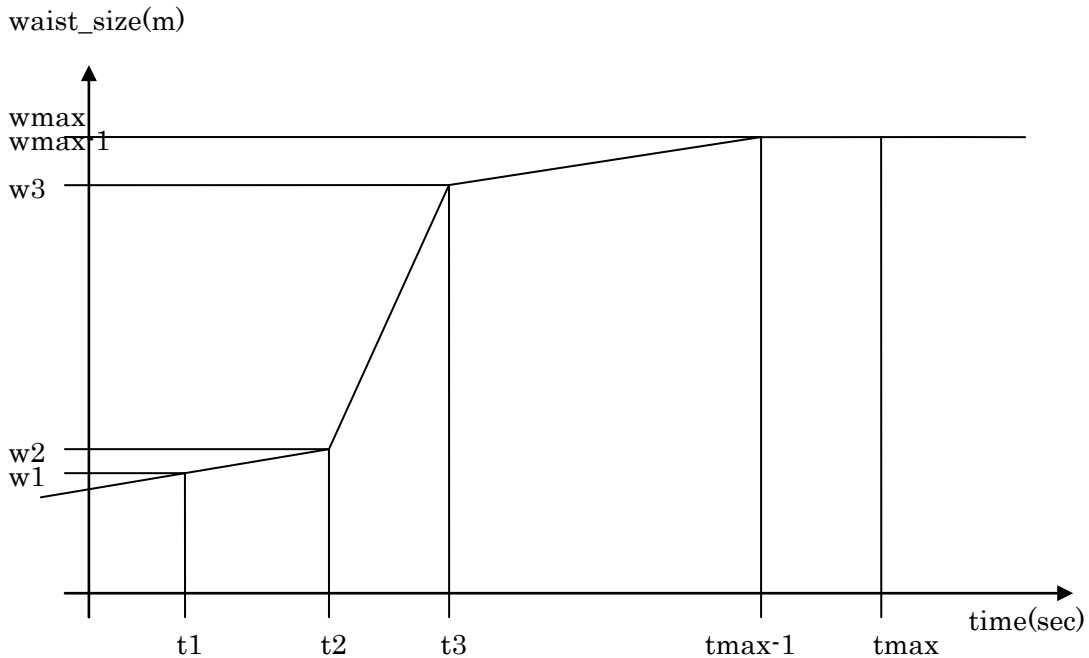
今回はレーザービームを走査させるなど、時間とともにレーザーのパラメータを変化させる方法を学びます。そのために使うのが、`laser_schedule.txt` です。フォーマットは以下の通りです。

number\_of\_data

```
time1(sec)    power1(Wat)    waist_size1(m)    waist_position1(m)(x,y,z).....
time2(sec)    power2(Wat)    waist_size2(m)    waist_position2(m)(x,y,z) .....
time3(sec)    power3(Wat)    waist_size3(m)    waist_position3(m)(x,y,z) .....
```

.....

waist\_size を例にとると



時刻  $t_1$  以前の値は、時刻  $t_1$  の値  $w_1$  と時刻  $t_2$  の値  $w_2$  を線形に外挿して決めます。

時刻  $t$   $t_i \leq t < t_j$  の値は時刻  $t_i$  の値  $w_i$  と時刻  $t_j$  の値  $w_j$  を線形内挿して決めます。

時刻  $t_{\max}$  以降の値は時刻  $t_{\max-1}$  の値  $w_{\max-1}$  と時刻  $t_{\max}$  の値  $w_{\max}$  を線形に外挿して決めます。

それでは実際にレーザービームを走査した例を計算してみましょう。まず、計算領域は、前チュートリアルと同じものを選びます。つまり、1.6mm 四方の立方体の空間領域に、0.8mm までの高さの物質を満たします。そのために、`input.txt` の関連箇所が以下のようになっていることを確認しましょう。

```
sdf_initial_mode      =      plane          # plane, sphere, file_input
sdf_initial_center   =      0.0008  0.0008  0.0008  # [m]
sdf_initial_direction =      0.0    0.0    1.0
```

次に laser\_schedule.txt を以下のように編集します。

```
5
0.0000  200    0.2e-3    0.0002 0.0002 0.0008    0.0 0.0 -1.0    0.0 1.0 0.0
0.0001  200    0.2e-3    0.0008 0.0014 0.0008    0.0 0.0 -1.0    0.0 1.0 0.0
0.0002  200    0.2e-3    0.0014 0.0002 0.0008    0.0 0.0 -1.0    0.0 1.0 0.0
0.00021 200    0.2e-3    0.0005 0.0008 0.0008    0.0 0.0 -1.0    0.0 1.0 0.0
0.0003  200    0.2e-3    0.0011 0.0008 0.0008    0.0 0.0 -1.0    0.0 1.0 0.0
```

これだけでは、ソルバーは laser\_schedule.txt を読みにいかないなので、input.txt の以下の部分を修正します。

```
use_laser_schedule      =      .false.
```

を

```
use_laser_schedule      =      .true.
```

さらに、以下の部分を修正してください。

```
number_of_iteration    =      100
```

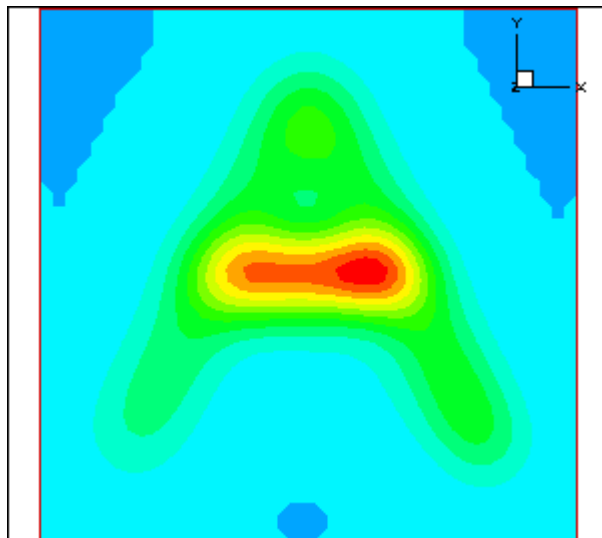
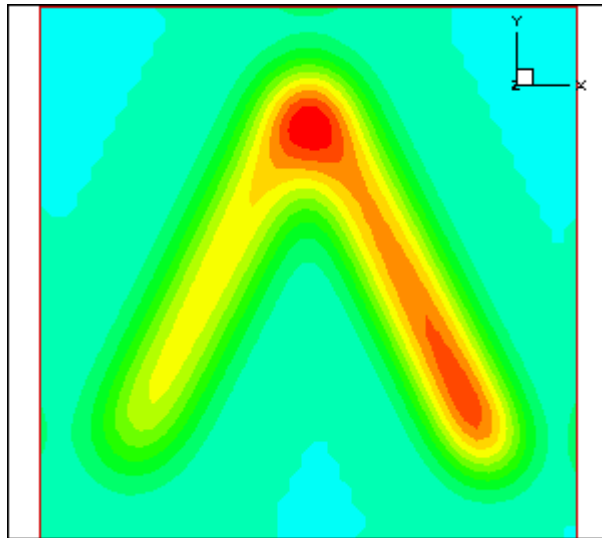
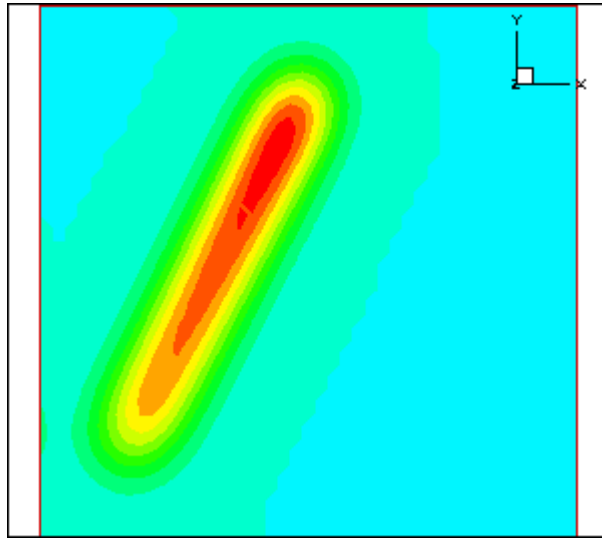
を

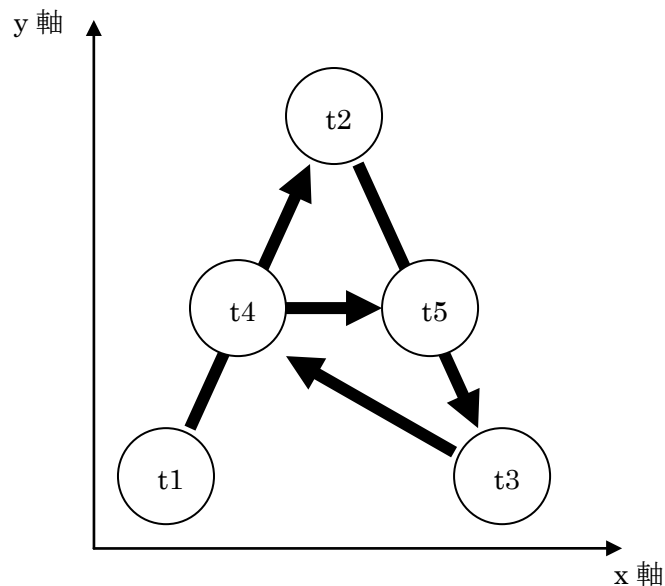
```
number_of_iteration    =      300
```

それでは準備ができたので、計算してみましょう。

```
$ ../../Release/welding.exe
```

num_itr	time(sec)	num_fs	div_v	div_v/div_pv
10	0.00001	0	0.00000E+00 NaN	NaN
20	0.00002	0	0.00000E+00 NaN	NaN
30	0.00003	0	0.00000E+00 NaN	NaN
40	0.00004	0	0.00000E+00 NaN	NaN
50	0.00005	0	0.00000E+00 NaN	NaN
60	0.00006	0	0.00000E+00 NaN	NaN
.....				
260	0.00026	0	0.00000E+00 NaN	NaN
270	0.00027	0	0.00000E+00 NaN	NaN
280	0.00028	0	0.00000E+00 NaN	NaN
290	0.00029	0	0.00000E+00 NaN	NaN
300	0.00030	0	0.00000E+00 NaN	NaN





現在の実装では、ray tracing 等を完全に実施しているわけではないので、実行上、不自然な結果が出る可能性が、状況によっては起こりえますが、今後の課題にしておきたいと思えます。

## 2 入力ファイルの説明

### 2.1 input.txt

nx : 計算領域の x 方向の分割数。

ny : 計算領域の y 方向の分割数。

nz : 計算領域の z 方向の分割数。

dx : x 方向のグリッド幅。単位はメートル。

dy : y 方向のグリッド幅。単位はメートル。

dz : z 方向のグリッド幅。単位はメートル。

現在の実装では、 $dx=dy=dz$  を仮定していて、それ以外は指定できません。

計算領域は、以下の 8 点により張られる直方体として定義できます。

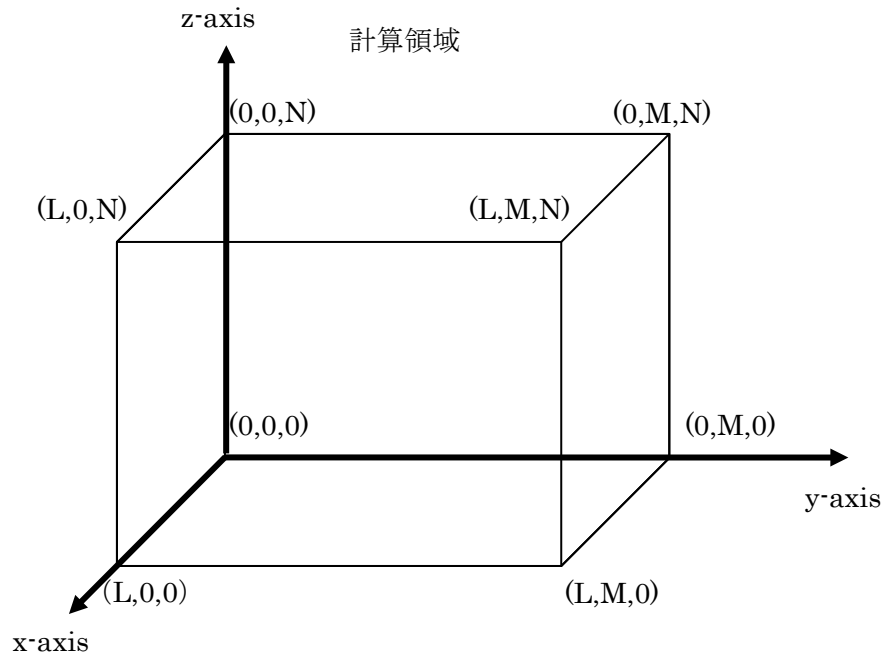
$(0,0,0), (L,0,0), (0,M,0), (L,M,0), (0,0,N), (L,0,N), (0,M,N), (L,M,N)$

ここで

$$L = nx \times dx \quad (m)$$

$$M = ny \times dy \quad (m)$$

$$N = nz \times dz \quad (m)$$



**dt** : 計算時間ステップ幅。単位は sec、秒。

**interval\_of\_velocity\_calculation** : 速度の計算は、 $dt \times \text{interval\_of\_velocity\_calculation}$  ごとに、タイムステップ  $dt \times \text{interval\_of\_velocity\_calculation}$  で行われます。温度の計算が律速になってタイムステップが取れない場合に、実行速度を速めるために使用します。十分にタイムステップが取れる場合には、1 を指定すると最も精度が保障されます。

**start\_condition** : **initial** を指定すると指定した初期条件にしたがって、時刻 0.0 から計算が開始されます。**restart** を指定すると、**restart.txt** の内容に従って、計算が再実行されます。

**initial\_temperature** : 計算開始時の温度をケルヴィン単位で指定します。

**initial\_velocity** : 計算開始時の速度を MKS 単位で指定します。

`number_of_iteration` : 計算するステップの総数を指定します。

`end_time` : 計算する総時間を秒単位で指定します。

`number_of_iteration` あるいは `end_time` のどちらか一方の条件が満たされたときに計算は終了します。

`interval_display` : ディスプレイに表示される計算状況の報告を何 `iteration` 毎に行うかを指定します。

`interval_write` : モニタ用のデータおよび、再計算用のデータの出力を、何 `iteration` 毎に行うかを指定します。

`omega_temperature` : 流体ソルバーを SCGZ にした場合のオーバーリラクゼーション係数だが、現在のところ使用していません。

`include_gravity` : `.true.`を指定すると、計算に重力を加えます。`.false.`を指定すると重力は計算しません。

`gx` : 重力の方向ベクトルの `x` 成分。単位ベクトルで指定します。

`gy` : 重力の方向ベクトルの `y` 成分。単位ベクトルで指定します。

`gz` : 重力の方向ベクトルの `z` 成分。単位ベクトルで指定します。

`calc_Buoyancy` : `.true.`を指定すると、温度変化に伴う、密度変化を考慮して、牛力計算を行います。`.false.`を指定すると、温度変化に伴う、密度変化を考慮しません。

`include_surface_tension` : `.true.`を指定すると、表面張力を計算に組み込みます。`.false.`を指定すると、表面張力は計算しません。

`surface_tension_shift` : 気相とそれ以外の相の界面は、`signed distance` 関数の値 = 0 で定義しますが、実際の物性は滑らかな `Heaviside` 関数により定義しています。そのため、界面における諸量をそれに付随した滑らかな  $\delta$  関数で定義してしまうと、本来、例えば、固液相において吸収されるべきとして定義した、レーザエネルギーが気相と固液相に分散して（文字通り  $\delta$  関数を定義すると丁度半分ずつに分配されてしまいます。）。同様に表面張力も、固液相をドライブするものとして定義した量が、気相のドライブにも使われてしまう状況を観測できます。それに対する、対応策として、完全なものではないですが、 $\delta$

関数を、幾分固液相にシフトできるように（マイナスを指定すれば、気相側へもシフトできます。）指定できるようにしました。単位はグリッドの幅（ $dx=dy=dz$ ）です。0 を指定いただければ、従来の  $\delta$  関数で計算することができます。

**solid\_velocity** : 固相の速度を指定します。0 以外の値を指定するときには、接する外部境界の速度も矛盾しないように設定します。

**darcy\_epsilon** : mushy zone における Darcy force の特異点を除くための定数です。

$$\frac{1}{g_\ell^3} \rightarrow \frac{1}{g_\ell^3 + \epsilon_{Darcy}}$$

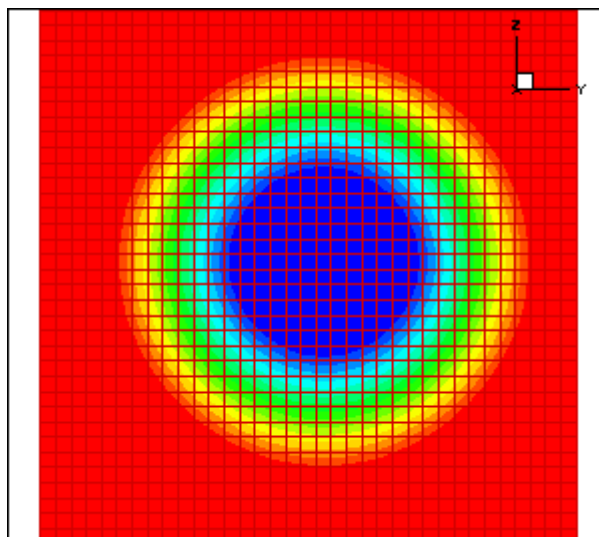
**laser\_power** : 現在、未使用

**spatial\_laser\_distribution** : 現在、未使用

#### # Signed distance function parameters

**sdf\_width** :  $\pm dx \times (\text{sdf\_width})$  の範囲で signed distance 関数を計算します。それ以外の範囲では、正の場合には、 $+dx \times (\text{sdf\_width})$  の値を、負の場合には、 $-dx \times (\text{sdf\_width})$  の値を sdf に代入します。以下に 3 次元空間内の球の例を示します。

sdf\_width=4.0 の場合の球の signed distance 関数の例



heaviside\_epsilon : 物性を定義するための Heaviside 関数は以下で定義されます。

$$H(\phi) = \begin{cases} 0 & \phi < -\varepsilon \\ \frac{1}{2} + \frac{\phi}{2\varepsilon} + \frac{1}{2\pi} \sin\left(\frac{\pi\phi}{\varepsilon}\right) & -\varepsilon \leq \phi \leq \varepsilon \\ 1 & \varepsilon < \phi \end{cases} \quad (3)$$

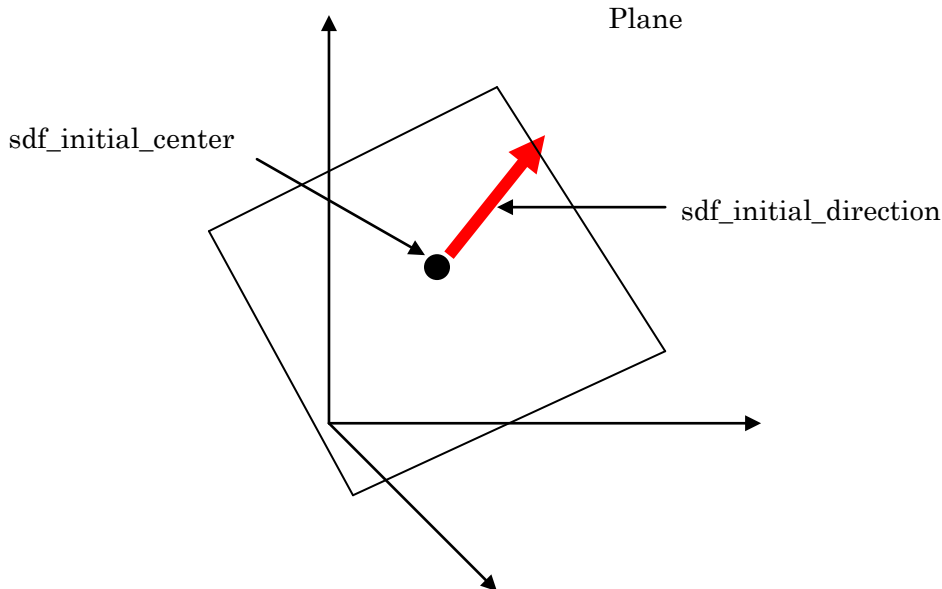
ここで  $\phi$  は signed distance function です。heaviside\_epsilon は上の式における  $\varepsilon$  です。

sdf\_initial\_mode : signed distance 関数の初期値を設定します。plane,sphere,file\_input の3種類が設定できます。

sdf\_initial\_mode = plane のときは、初期 sdf として平面が指定されます。

sdf\_initial\_center : 平面が通る点の座標を指定します。単位はメートルです。

sdf\_initial\_direction : 平面の法線ベクトルを指定します。法線ベクトルは、sdf 関数の負の方向から正の方向へ向かうように指定します。また、これは、固液相から気相へ向かう方向でもあります。

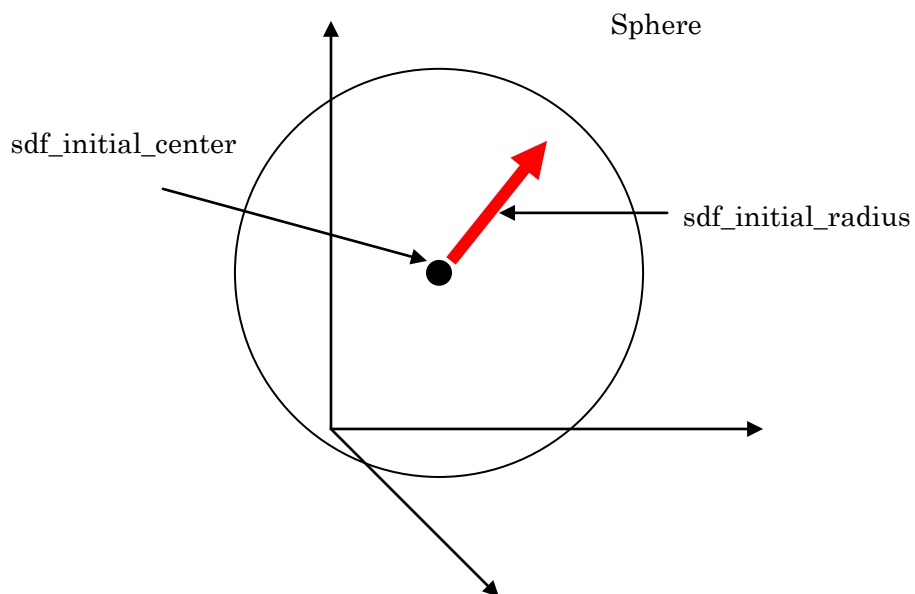


sdf\_initial\_mode = sphere のときは、初期 sdf として球面が指定されます。

sdf\_initial\_radius : 球面の半径を指定します。単位はメートルです。

sdf\_initial\_center : 球面の中心の座標を指定します。単位はメートルです。

球面内部が、負の値をとり、球面外部が正の値を取ります。現在のところこれがデフォルトで逆はできません。



`sdf_initial_mode = file_input` のときは、外部ファイルにより `sdf` 関数を設定します。外部ファイルとして、`geometry.txt` を用います。そのフォーマットはチュートリアルに書かれていますが、再度繰り返しますと、

`num_polygon`

```
x1    y1    z1
x2    y2    z2
x3    y3    z3
x4    y4    z4
```

```
.....
.....
```

```
xnum_polygon×3  ynum_polygon×3  znum_polygon×3
```

細かい三角形をいくつか配置して形状を表現します。

```
x1    y1    z1
x2    y2    z2
x3    y3    z3
```

が最初の三角形の3つの空間座標を表します。以下

```
x4    y4    z4
x5    y5    z5
```

$x_6$      $y_6$      $z_6$

が2番目の三角形の3つの空間座標を、

$x_7$      $y_7$      $z_7$

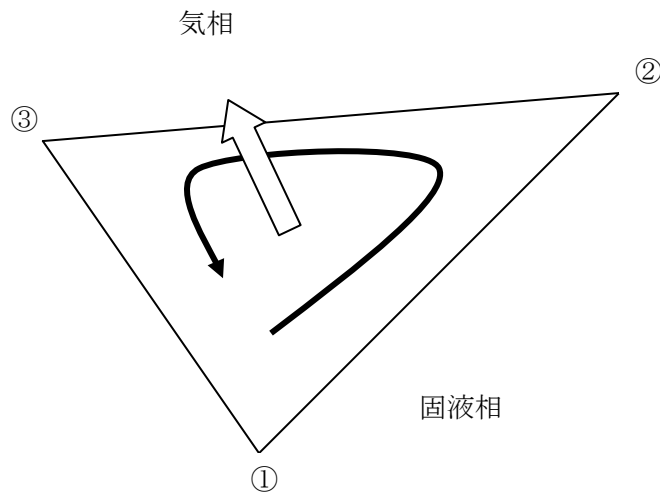
$x_8$      $y_8$      $z_8$

$x_9$      $y_9$      $z_9$

が3番目の三角形の3つの空間座標を表します。

三角形は好きなだけ配置することができます。

三角形には向きがあって、右ねじの向きに（座標が記述された順番に従って右ねじを回したときに右ねじが進む方向）**signed distance** 関数は正の値をとります。そしてそれは気相が配置される側になります。



例については、チュートリアルならびに各 tutorial ディレクトリ内の、`geometry.txt` 等を参照ください。

`sdf_itr_max` : 現在、未使用です。SCGZにて使用します。

`sdf_omega` : 現在、未使用です。SCGZにて使用します。

`sdf_epsilon` : 現在、未使用です。SCGZにて使用します。

`level_set_scheme` : 以下の **signed distance** 関数の時間発展を計算する数値スキームを選択、指定します。

$$\frac{\partial \phi(\vec{r}, t)}{\partial t} + \vec{V} \cdot \vec{\nabla} \phi(\vec{r}, t) = 0$$

ここで  $\phi(\vec{r}, t)$  は **signed distance** 関数です。

lss\_upwind\_1st と lss\_upwind\_1st\_cnstrnt を指定することができます。lss\_upwind\_1st を指定すると、up-wind の空間一次精度で計算します。lss\_upwind\_1st\_cnstrnt を指定すると、up-wind の空間一次精度に global な mass を保存する拘束条件をつけたものを計算します。ここでいう global な mass とは、

$$\int_{\Omega} [1.0 - H(\phi(\vec{r}, t))] d\Omega$$

で  $\Omega$  は、計算領域全体を、 $H(\phi)$  は Heaviside 関数を、 $\phi(\vec{r}, t)$  は signed distance 関数を表します。

redistance\_scheme は signed distance 関数、 $\phi(\vec{r}, t)$  を最初期化するための数値スキームを指定します。以下の 6 種類が指定可能です。

rds\_upwind\_1st

rds\_upwind\_1st\_cnstrnt

rds\_fast\_marching\_1st

rds\_eno\_3rd

rds\_eno\_3rd\_cnstrnt

rds\_weno\_5th

rds\_upwind\_1st を指定すると

$$\frac{\partial \phi(\vec{r}, t)}{\partial t} = \text{sign}(\phi_0) \left( 1.0 - |\vec{\nabla} \phi(\vec{r}, t)| \right) \quad (1)$$

を upwind の空間一次精度で解きます。

rds\_upwind\_1st\_cnstrnt を指定すると、上記、redistancing の方程式 (1) を、各グリッドセル内の mass を保存するという拘束条件をつけて解きます。ここでいう、各グリッドセル内の mass とは

$$\int_{\Omega_{ijk}} [1.0 - H(\phi(\vec{r}, t))] d\Omega_{ijk} \quad 1 \leq i \leq nx, 1 \leq j \leq ny, 1 \leq k \leq nz$$

で、 $\Omega_{ijk}$  は  $(i, j, k)$  番目のグリッドセル内の空間領域を、 $H(\phi)$  は Heaviside 関数を、 $\phi(\vec{r}, t)$

は signed distance 関数を表します。

rds\_fast\_marching\_1st を指定すると、空間一次精度の Fast Marching で redistancing を行います。

rds\_eno\_3rd を指定すると、eno(essentially non-oscillatory scheme)の空間 3 次精度で上記、redistancing の方程式 (1) を解きます。

rds\_eno\_3rd\_cnstrnt を指定すると、上記、redistancing の方程式 (1) を、各グリッドセル内の mass を保存するという拘束条件をつけて、eno(essentially non-oscillatory scheme)

の空間 3 次精度で解きます。

rds\_weno\_5th は現在のところ予約してありますが、未実装です。

#### # Fluid solver parameters

convection\_scheme : 流体ソルバーの convection 項の数値スキームを指定します。以下の 3 つが指定できます。

upwind\_c

upwind\_nc

eno2nd

upwind\_c を指定すると、convection 項に  $\vec{\nabla}(\bar{u}u_i)$  の保存型を仮定して、upwind の空間一次

で解きます。upwind\_nc を指定すると、convection 項を  $\bar{u} \cdot \vec{\nabla}u_i$  として、upwind の空間一

次で解きます。eno2nd を指定すると、convection 項を  $\bar{u} \cdot \vec{\nabla}u_i$  として、eno の空間 2 次で解きます。

max\_itr\_scgs : SCGZ 用に用意した変数ですが、現在のところ未使用です。

max\_itr\_fs : fractional step において pressure を project するときに解く以下の poisson solver の最大繰り返し回数を指定します。

$$\vec{\nabla} \left( \frac{1}{\rho} \vec{\nabla} p \right) = \frac{\vec{\nabla} \cdot \vec{V}^*}{\Delta t} \quad (2)$$

eps\_v : 式 (2) を解く poisson solver の収束条件を下で述べる、fluid\_solver\_norm を用いて、divergence あるいは、divergence\_relative で指定したときの、閾値を与えます。

eps\_p : 式 (2) を解く poisson solver の収束条件を下で述べる、fluid\_solver\_norm を用いて、p\_res\_l2\_relative で指定したときの、閾値を与えます。

omega\_velocity : SCGZ 用に用意した変数ですが、現在のところ未使用です。

omega\_pressure : 式 (2) を解く poisson solver の over relaxation を与えます。

fluid\_solver\_norm : 式 (2) を解く poisson solver の収束条件として何を用いるかを指定します。以下の 3 つを指定できます。

divergence

divergence\_relative

p\_res\_l2\_relative

divergence を指定すると、収束条件は以下のようになります。

$$\max_{(i,j,k)} |\mathit{div}\vec{u}| < \text{eps}_v$$

divergence\_relative を指定すると、収束条件は以下のようになります。

$$\frac{\max_{(i,j,k)} |\mathit{div}\vec{u}|}{\max_{(i,j,k)} |\mathit{div}\vec{u}^*|} < \text{eps}_v$$

p\_res\_l2\_relative を指定すると、式 (2) を数值的に離散化したものを行列で以下のよう  
に表したとき、

$$A\vec{p} = \vec{b}$$

収束条件は以下のようになります。

$$\frac{\|\vec{b} - A\vec{p}\|^{L2}}{\|\vec{b}\|^{L2}} < \text{eps}_p$$

ここで L2-norm  $\|\bullet\|^{L2}$  は以下で定義されるスカラー量です。

$$\|\vec{p}\|^{L2} = \sqrt{\sum_{(i,j,k)} p_{i,j,k}^2}$$

また、行列Aは対角項が1になるように規格化してとります。

## # Laser beam parameters

include\_laser\_beam : レーザービームの照射を計算に加えるかどうかを指定するための  
のフラグです。 .true.なら温度の計算にレーザービームの照射は考慮されます。 .false.の場  
合には、レーザービームの照射は考慮されません。

use\_laser\_schedule : レーザービームのパラメータの経時変化を記述するのに、  
laser\_schedule.txt を使用するかどうかを指定するためのフラグです。 .true.なら  
laser\_schedule.txt を使用します。 .false.なら使用しません。 laser\_schedule.txt のフォー  
マットについては、チュートリアル5、もしくは laser\_schedule.txt の章を参照してくださ  
い。

**laser\_wave\_length** : レーザービームの波長をメートル単位で指定します。

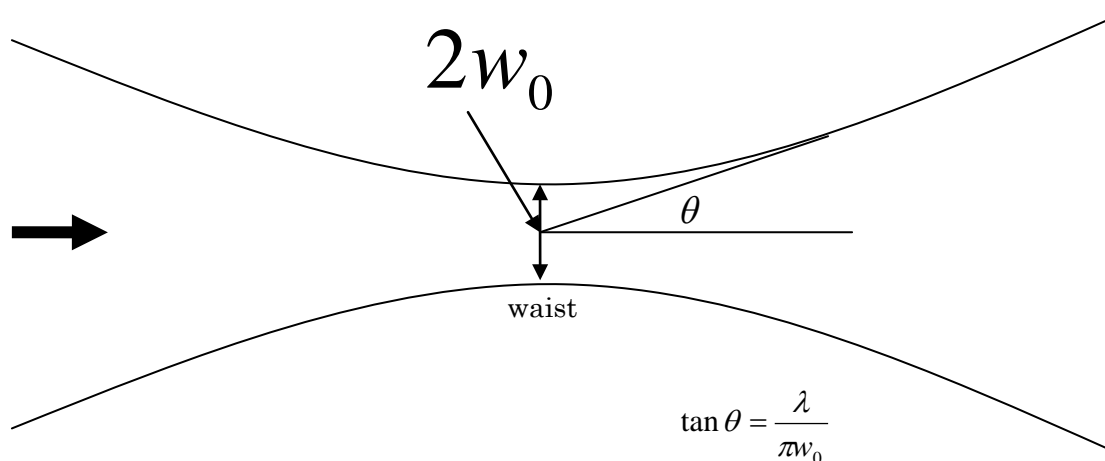
**power\_transmitted\_by\_the\_beam** : 実際にレーザービームによって単位時間当たり運搬されるエネルギー量を W 単位で指定します。

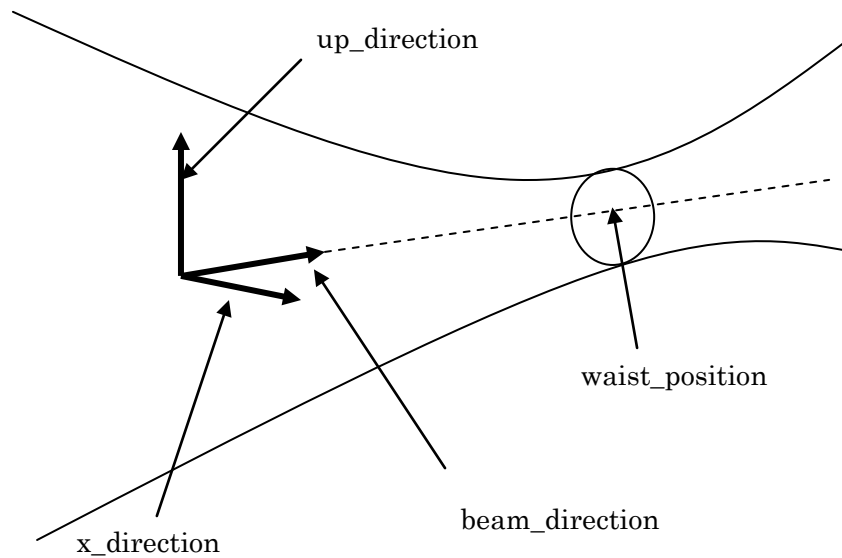
**waist\_size** : チュートリアル、あるいは以下で述べる式における、 $w_0$  を表します。**Gaussian beam** においては最もビームが絞られた点におけるビーム幅がおおよそ  $2w_0$  になります。より高次の **Herimite-Gaussian beam** においては最もビームが絞られた点におけるビーム幅がおおよそ x 方向で、 $2\sqrt{m}w_0$ 、y 方向で  $2\sqrt{n}w_0$  になります。ここでいう m、n とは以下で述べる、**laser\_mode\_m** と **laser\_mode\_n** のことです。

**waist\_position** : 最もビームが絞られた点 (ウェスト) の空間座標を指定します。

**beam\_direction** : ビームによって運搬されるエネルギーの方向を単位ベクトルで指定します。

**up\_direction** : ビームが流れる方向と垂直な面内における y 方向を単位ベクトルで指定します。





laser\_mode : レーザービームの種類を指定します。以下の4つを指定できます。

Gaussian

Hermite\_Gaussian

Laguerre\_Gaussian

file\_input

Gaussian を指定すると Gaussian beam が選択されます。

Hermite\_Gaussian を指定すると Hermite\_Gaussian beam が選択されます。

Laguerre\_Gaussian を指定すると Laguerre\_Gaussian beam が選択されます。

file\_input を指定すると、ビームの断面形状を laser\_profile.txt で決めることができます。

Gaussian beam

$$\tilde{u}(x, y, z) = \left(\frac{2}{\pi}\right)^{\frac{1}{2}} \frac{\exp[-ikz + i\psi(z)]}{w(z)} \exp\left[-\frac{x^2 + y^2}{w^2(z)} - ik \frac{x^2 + y^2}{2R(z)}\right]$$

Hermite-Gaussian Mode

$$\tilde{u}_{mn}(x, y, z) = \left(\frac{2}{\pi}\right)^{\frac{1}{2}} \frac{\exp[i(m+n+1)\psi(z)]}{\sqrt{2^m m!} w(z) \sqrt{2^n n!} w(z)} H_m\left(\frac{\sqrt{2}x}{w(z)}\right) H_n\left(\frac{\sqrt{2}y}{w(z)}\right) \exp\left[-ikz - ik \frac{x^2 + y^2}{2R(z)}\right]$$

$$\exp\left[-\frac{x^2 + y^2}{w^2(z)}\right]$$

### Laguerre-Gaussian Mode

$$\tilde{u}_{pm}(r, \theta, z) = \sqrt{\frac{2p!}{\pi(m+p)!}} \frac{\exp[i(2p+m+1)(\psi(z)-\psi_0)]}{w(z)} \left(\frac{\sqrt{2}r}{w(z)}\right)^m L_p^m\left(\frac{2r^2}{w^2(z)}\right) \exp\left[-ikz - ik\frac{r^2}{2R(z)} - im\theta - \frac{r^2}{w^2(z)}\right]$$

ここで

$$w(z) = w_0 \sqrt{1 + \left(\frac{z}{z_R}\right)^2}$$

$$R(z) = z + \frac{z_R^2}{z}$$

$$\psi(z) = \tan^{-1}\left(\frac{z}{z_R}\right)$$

$$z_R = \frac{1}{2}kw_0^2 = \frac{\pi}{\lambda}w_0^2$$

です。その他の詳細はチュートリアル4を参照してください。

`laser_order_m` : Hermite-Gaussian Mode の添え字  $m$ 、Laguerre-Gaussian Mode の添え字  $m$ 、を指定します。

`laser_order_n` : Hermite-Gaussian Mode の添え字  $n$ 、Laguerre-Gaussian Mode の添え字  $p$ 、を指定します。

`times_diffraction_limited` : 現在、未使用です。

`quality_factor` : 現在、未使用です。

`include_radiation_heat_transfer` : 固液界面の熱輻射による冷却を計算に組み込むかどうかを指定するためのフラグです。熱輻射によるエネルギー損失は以下の式で与えられます。

$$q_R = \sigma\varepsilon(T^4 - T_\infty^4) \quad W/m^2$$

ここで  $\sigma$  は Stefan-Boltzmann constant、 $\varepsilon$  は emissivity、 $T_\infty$  は ambient temperature です。

`ambient_temperature` : ambient temperature をケルヴィン単位で指定します。

# TecPlot file

write\_velocity : 速度の計算結果を出力をするかしないかを指定するためのフラグです。 .true. で出力します。 .false. で出力しません。

write\_pressure : pressure の計算結果を出力をするかしないかを指定するためのフラグです。  
.true. で出力します。 .false. で出力しません。

write\_temperature : 温度の計算結果を出力をするかしないかを指定するためのフラグです。 .true. で出力します。 .false. で出力しません。

write\_signed\_distance : signed distance 関数の計算結果を出力するかしないかを指定するためのフラグです。 .true. で出力します。 .false. で出力しません。

write\_liquid\_mass\_fraction : liquid mass fraction の計算結果を出力するかしないかを指定するためのフラグです。 .true. で出力します。 .false. で出力しません。

write\_solid\_mass\_fraction : solid mass fraction の計算結果を出力するかしないかを指定するためのフラグです。 .true. で出力します。 .false. で出力しません。

## 2.2 material.txt

# air

gas\_density : 気相の密度を指定します。単位は、  $kg/m^3$  です。

gas\_specific\_heat : 気相の定圧比熱を指定します。単位は、  $J/(kg \cdot K)$  です。

gas\_viscosity : 気相の粘性係数を指定します。単位は、  $kg/(m \cdot sec)$  です。

gas\_thermal\_conductivity : 気相の熱伝導率を指定します。単位は、  $W/(mK)$  です。

gas\_volume\_expansion : 気相の体膨張率を指定します。単位は、  $1/K$  です。

# solid

solid\_density : 固相の密度を指定します。単位は、  $kg/m^3$  です。

solid\_specific\_heat : 固相の定圧比熱を指定します。単位は、 $J/(kg \cdot K)$ です。

solid\_thermal\_conductivity : 固相の熱伝導率を指定します。単位は、 $W/(mK)$ です。

solid\_volume\_expansion : 固相の体膨張率を指定します。単位は、 $1/K$ です。

# liquid

liquid\_density : 液相の密度を指定します。単位は、 $kg/m^3$ です。

liquid\_specific\_heat : 液相の定圧比熱を指定します。単位は、 $J/(kg \cdot K)$ です。

liquid\_thermal\_conductivity : 液相の熱伝導率を指定します。単位は、 $W/(mK)$ です。

liquid\_viscosity : 液相の粘性係数を指定します。単位は、 $kg/(m \cdot sec)$ です。

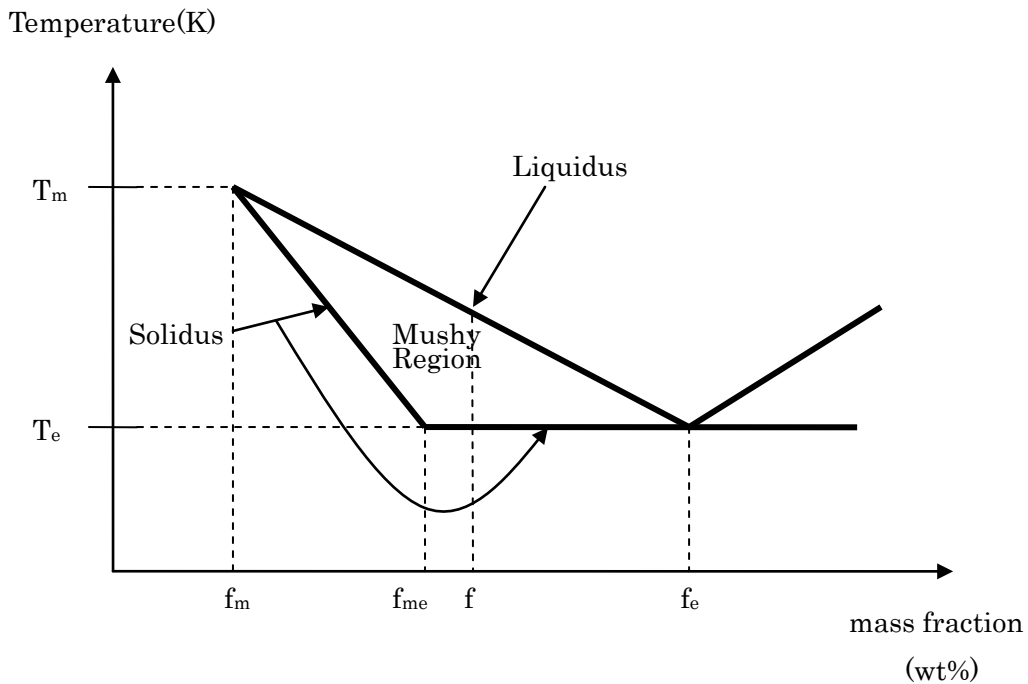
liquid\_volume\_expansion : 液相の体膨張率を指定します。単位は、 $1/K$ です。

surface\_tension : 気液界面の表面張力  $\sigma$  を指定します。単位は、 $N/m$ です。

dsurface\_tension\_dt : 表面張力の温度微分  $\frac{d\sigma}{dT}$  を指定します。単位は、 $N/(mK)$ です。

## # thermodynamics

現在の実装では、解析的な取り扱いが容易になるように、Fe-C系の phase-diagram の特徴をあらかじめ取り込んだ形になっています。ですが、いくつかの注意と近似のもとに、かなり一般の系に適用することができます。



まず最初の近似は、Solidus line と Liquidus line が直線で近似できるとするものです。多くの系では近似的にしか成り立ちませんが、こうすることで内部の処理が大幅に高速化します。

`latent_heat_of_fusion` : 融解熱を指定します。単位は、 $J/kg$  です。

`latent_heat_of_vaporization` : 気化熱を指定します。単位は、 $J/kg$  です。ただし、今回の実装では、`vaporization` については、考慮していません。

`melting_temperature` : 融点を指定します。単位は、 $K$  です。図の  $T_m$  を指定してください。

`normal_boiling_temperature` : 沸点を指定します。単位は、 $K$  です。ただし、今回の実装では、`vaporization` については、考慮していません。

`critical_point_temperature` : 臨界点を指定します。単位は、 $K$  です。ただし、今回の

実装では、vaporization については、考慮していません。

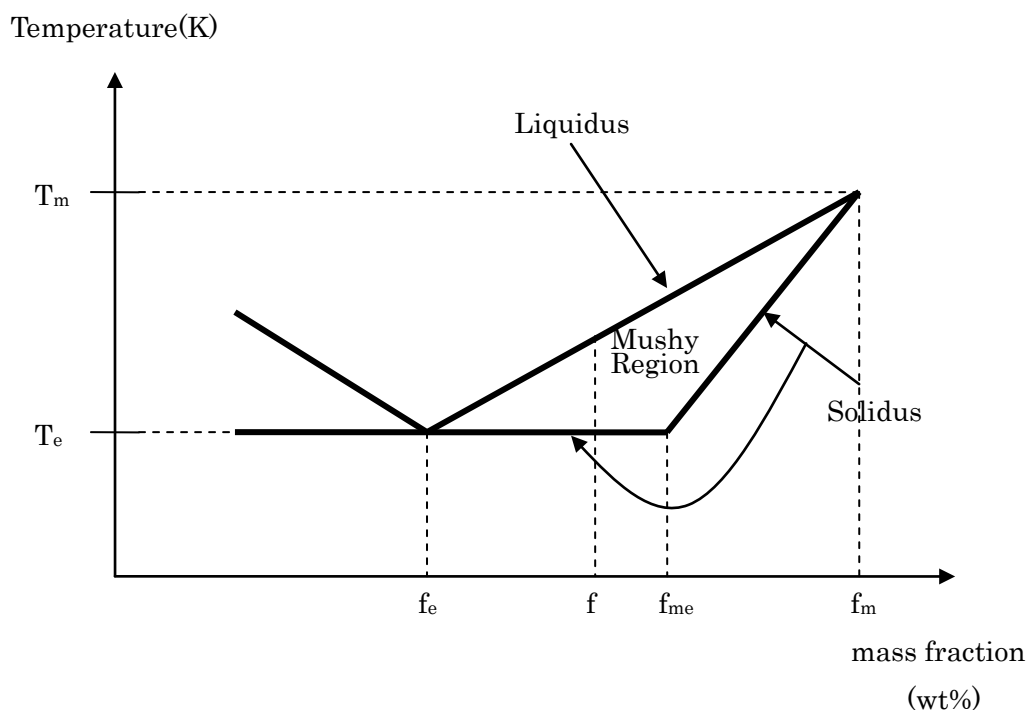
eutectic\_temperature : 共融点を指定します。単位は、 $K$  です。図の  $T_e$  を指定してください。

eutectic\_concentration : 図の  $f_e - f_m$  を指定してください。単位は、下の concentration と同一にとってください。多くの場合、weight-% を用います。

equilibrium\_partition\_ratio : 図の  $\frac{f_{me} - f_m}{f_e - f_m}$  を指定してください。無次元量です。

concentration : 今考えている系の concentration を  $f$  としたとき、図の  $f - f_m$  を指定してください。単位は上の eutectic\_concentration と同一にとってください。多くの場合、weight-% を用います。  $f$  の値としては、 $f_m$  から  $f_e$  までを指定できます。

phase-diagram が以下のようにかけられる場合には、eutectic\_concentration と concentration が正になるように上の記述を変更してください。すなわち、



eutectic\_concentration : 図の  $f_m - f_e$  を指定してください。単位は、下の concentration と同一にとってください。多くの場合、weight-% を用います。

**concentration** : 今考えている系の **concentration** を  $f$  としたとき、図の  $f_m - f$  を指定してください。単位は上の **eutectic\_concentration** と同一にとってください。多くの場合、**weight-%** を用います。  $f$  の値としては、 $f_e$  から  $f_m$  までを指定できます。

**laser\_absorptivity** : レーザーの **absorptivity** を指定します。無次元量です。

**laser\_emissivity** : レーザーの **emissivity** を指定します。無次元量です。

**permeability\_coefficient** : 現在、未使用です。

**primary\_dendrite\_arm\_spacing** : **primary dendrite arm spacing** を指定してください。単位はメートルです。Darcy force の **permeability coefficient** を以下の式から算出しています。

$$K_0 = 6.0 \times 10^{-4} \times \delta^2 \quad \text{ここで } \delta \text{ は primary dendrite arm spacing です。}$$

**Permeability coefficient** を指定したいときは、上の式を逆に解いて、

$$\delta = \sqrt{\frac{K_0}{6.0 \times 10^{-4}}}$$

から **primary\_dendrite\_arm\_spacing** を指定してください。

### 2.3 reference.txt

**reference\_length** : 対象とする系の代表的な長さを指定してください。単位は  $m$  です。

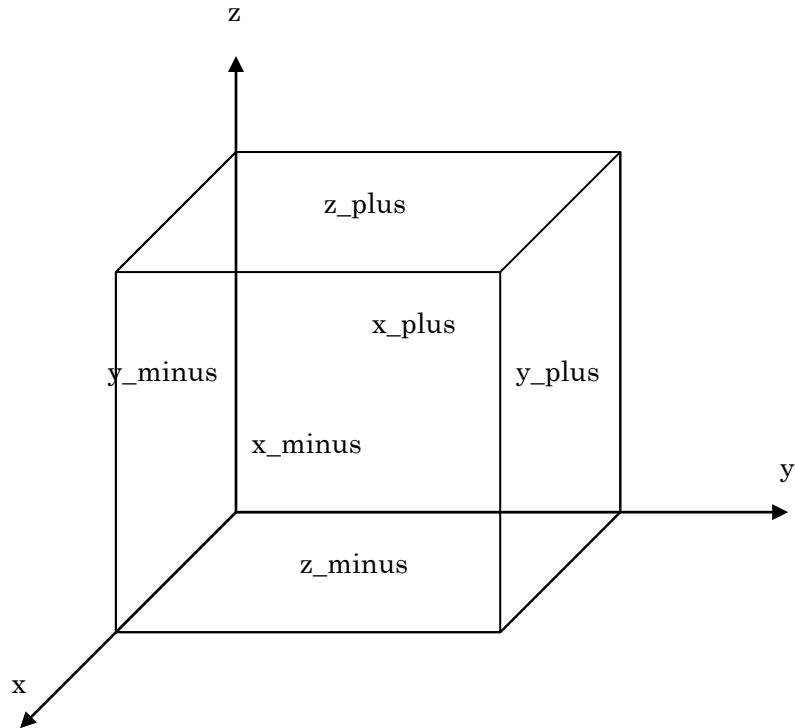
**reference\_velocity** : 対象とする系の代表的な速度を指定してください。単位は  $m/sec^2$  です。

**base\_temperature** : 対象とする系の代表的な温度を指定してください。単位は  $K$  です。

**difference\_temperature** : 対象とする系の代表的な温度の変化分を指定してください。単位は  $K$  です。

**base\_pressure** : 対象とする系の代表的な圧力を指定してください。単位は  $Pa$  です。

## 2.4 boundary.txt



上の図に示した表記で、計算領域の各境界面を、表します。つまり

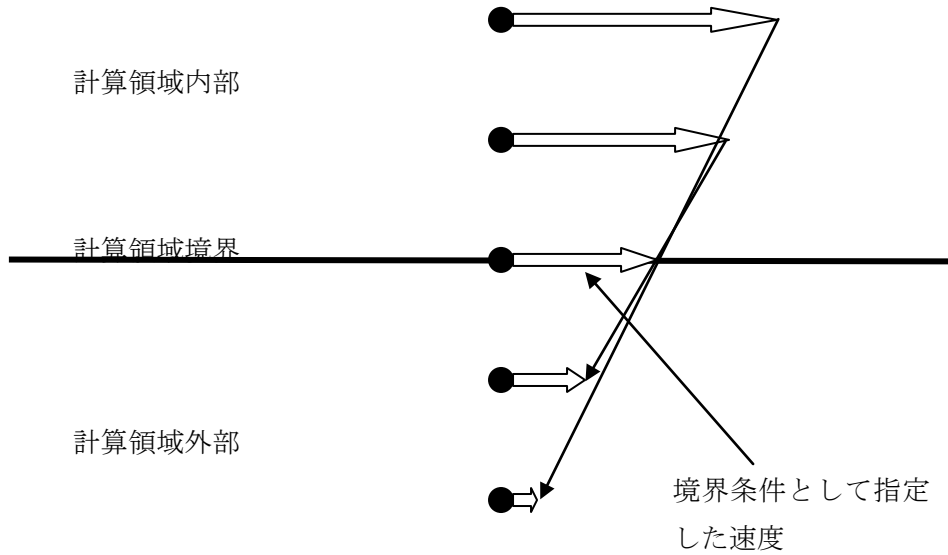
- x\_minus :  $x = 0$  表面
- x\_plus :  $x = L = nx \times dx$  表面
- y\_minus :  $y = 0$  表面
- y\_plus :  $y = M = ny \times dy$  表面
- z\_minus :  $z = 0$  表面
- z\_plus :  $z = N = nz \times dz$  表面

**速度の境界条件**としては wall と dirichlet の2つを指定できます。

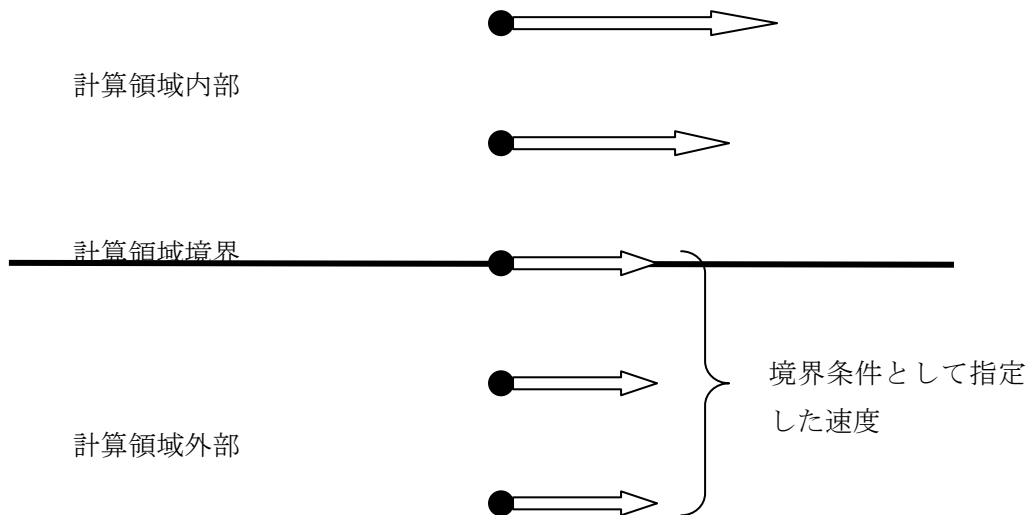
wall を指定すると下の図に示すように、境界上で指定した速度と内部領域で計算された速度を用いて、外部領域における速度が外挿により決められます。

dirichlet を指定すると、境界上、および外部領域における速度は、指定した速度で決められます。

### 速度の **wall** 境界条件



### 速度の **dirichlet** 境界条件



`x_minus_velocity_bc` : `x_minus` 境界面における速度の境界条件を指定します。 `wall`

と `dirichlet` のふたつを指定できます。

`x_minus_velocity` : `x_minus` 境界面における速度を指定します。単位は  $m/sec$  です。

`x_plus_velocity_bc` : `x_plus` 境界面における速度の境界条件を指定します。 `wall` と `dirichlet` のふたつを指定できます。

`x_plus_velocity` : `x_plus` 境界面における速度を指定します。単位は  $m/sec$  です。

`y_minus_velocity_bc` : `y_minus` 境界面における速度の境界条件を指定します。 `wall` と `dirichlet` のふたつを指定できます。

`y_minus_velocity` : `y_minus` 境界面における速度を指定します。単位は  $m/sec$  です。

`y_plus_velocity_bc` : `y_plus` 境界面における速度の境界条件を指定します。 `wall` と `dirichlet` のふたつを指定できます。

`y_plus_velocity` : `y_plus` 境界面における速度を指定します。単位は  $m/sec$  です。

`z_minus_velocity_bc` : `z_minus` 境界面における速度の境界条件を指定します。 `wall` と `dirichlet` のふたつを指定できます。

`z_minus_velocity` : `z_minus` 境界面における速度を指定します。単位は  $m/sec$  です。

`z_plus_velocity_bc` : `z_plus` 境界面における速度の境界条件を指定します。 `wall` と `dirichlet` のふたつを指定できます。

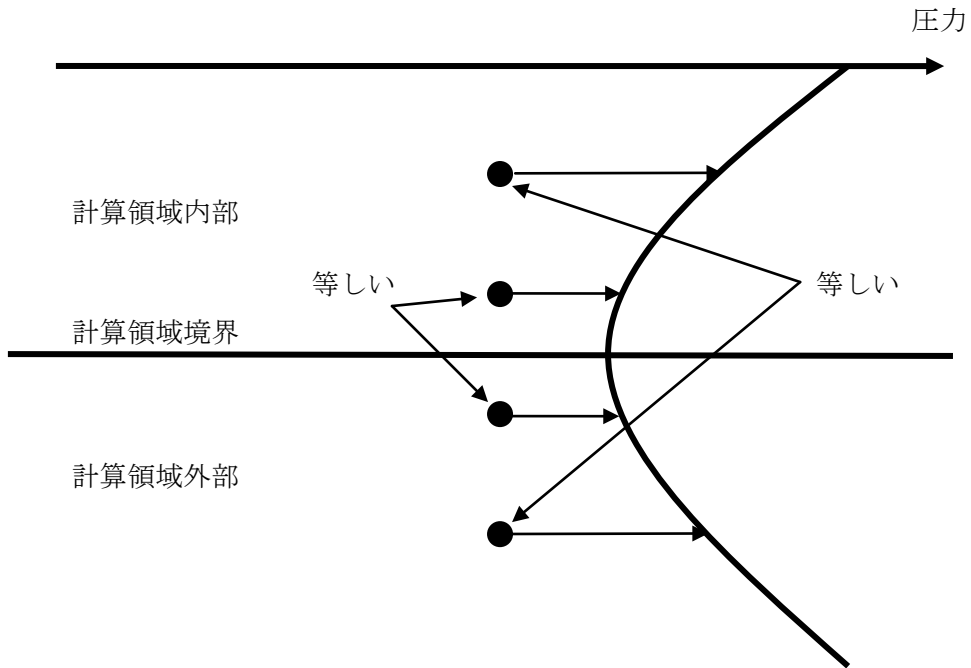
`z_plus_velocity` : `z_plus` 境界面における速度を指定します。単位は  $m/sec$  です。

圧力の境界条件としては、`grad_zero` と `dirichlet` の2つを指定できます。

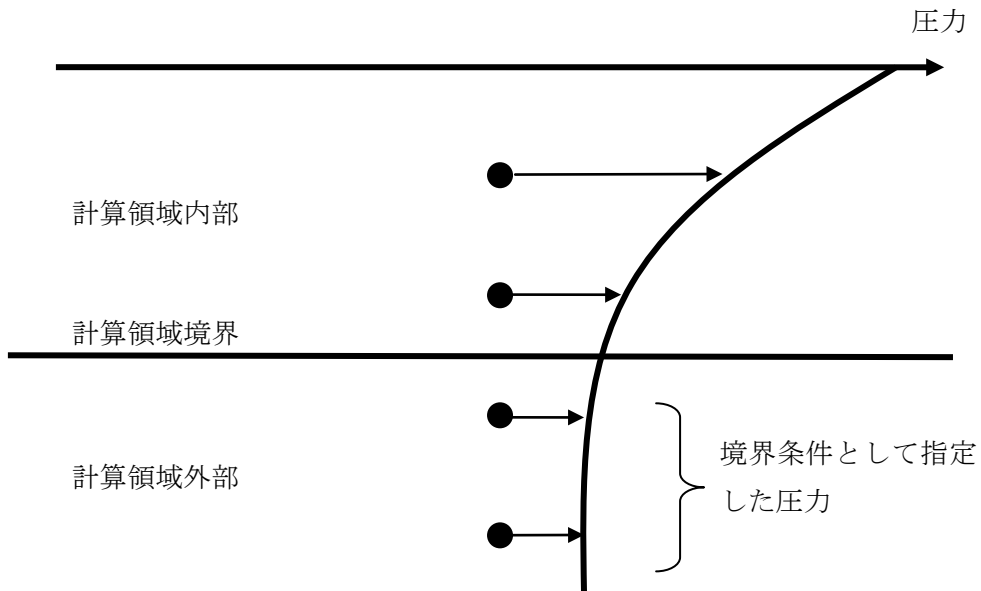
`grad_zero` を指定すると、境界上で境界面に垂直な方向への圧力の交配が0になるように計算領域外部の圧力を設定します。

`dirichlet` を指定すると、指定した圧力で計算領域外部の圧力が設定されます。下の図を参照してください。

圧力の **grad\_zero** 境界条件



圧力の **dirichlet** 境界条件



`x_minus_pressure_bc` : `x_minus` 境界面における圧力の境界条件を指定します。

`grad_zero` と `dirichlet` のふたつを指定できます。

`x_minus_pressure` : `x_minus_pressure_bc` が `dirichlet` のときに、`x_minus` 境界面における圧力を指定します。単位は  $Pa$  です。

`x_plus_pressure_bc` : `x_plus` 境界面における圧力の境界条件を指定します。  
`grad_zero` と `dirichlet` のふたつを指定できます。

`x_plus_pressure` : `x_plus_pressure_bc` が `dirichlet` のときに、`x_plus` 境界面における圧力を指定します。単位は  $Pa$  です。

`y_minus_pressure_bc` : `y_minus` 境界面における圧力の境界条件を指定します。  
`grad_zero` と `dirichlet` のふたつを指定できます。

`y_minus_pressure` : `y_minus_pressure_bc` が `dirichlet` のときに、`y_minus` 境界面における圧力を指定します。単位は  $Pa$  です。

`y_plus_pressure_bc` : `y_plus` 境界面における圧力の境界条件を指定します。  
`grad_zero` と `dirichlet` のふたつを指定できます。

`y_plus_pressure` : `y_plus_pressure_bc` が `dirichlet` のときに、`y_plus` 境界面における圧力を指定します。単位は  $Pa$  です。

`z_minus_pressure_bc` : `z_minus` 境界面における圧力の境界条件を指定します。  
`grad_zero` と `dirichlet` のふたつを指定できます。

`z_minus_pressure` : `z_minus_pressure_bc` が `dirichlet` のときに、`z_minus` 境界面における圧力を指定します。単位は  $Pa$  です。

`z_plus_pressure_bc` : `z_plus` 境界面における圧力の境界条件を指定します。  
`grad_zero` と `dirichlet` のふたつを指定できます。

`z_plus_pressure` : `z_plus_pressure_bc` が `dirichlet` のときに、`z_plus` 境界面における圧力を指定します。単位は  $Pa$  です。

温度の境界条件としては、`adiabatic` と `dirichlet` と `heat_transfer` の3つを指定できます。

**adiabatic** を指定すると、境界上で境界面に垂直な方向への温度の交配が 0 になるように計算領域外部の温度を設定します。いわゆる断熱境界条件になります。

**dirichlet** を指定すると、指定した温度で計算領域外部の温度が設定されます。いわゆる定温境界条件になります。

**heat\_transfer** を指定すると、境界における熱流速が以下の関係式を満たすように、計算領域外部の温度が設定されます。

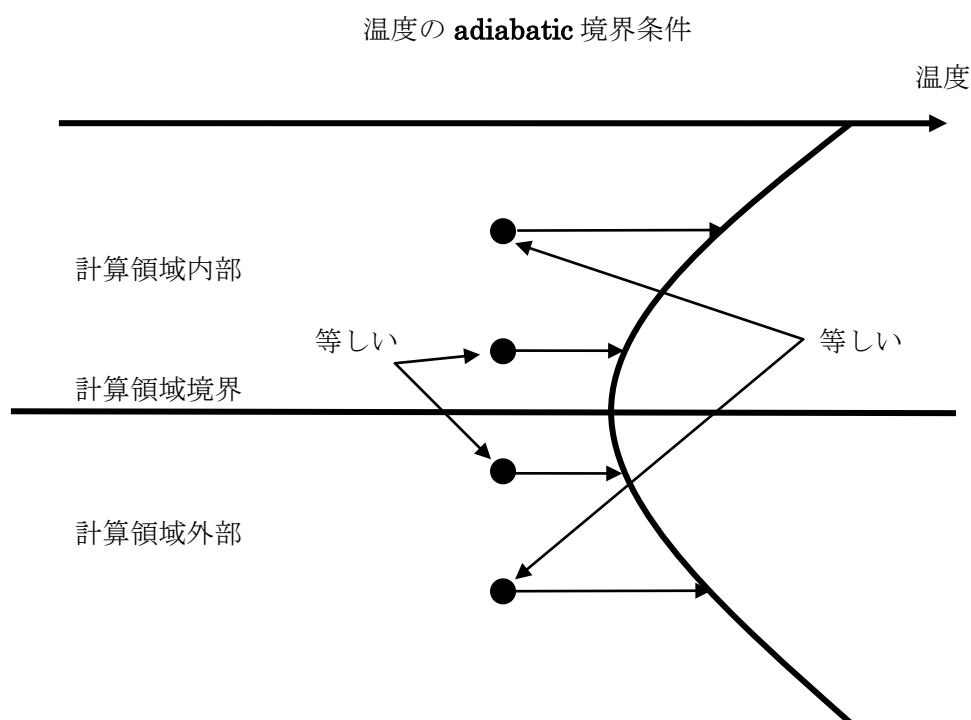
$$-k_B \frac{\partial T}{\partial n} \Big|_{Boundary} = h(T_{Boundary} - T_\infty)$$

ここで、 $k_B$  は当該境界面に接する、計算領域内部の熱伝導率です。 $\frac{\partial}{\partial n}$  は境界に垂直に境

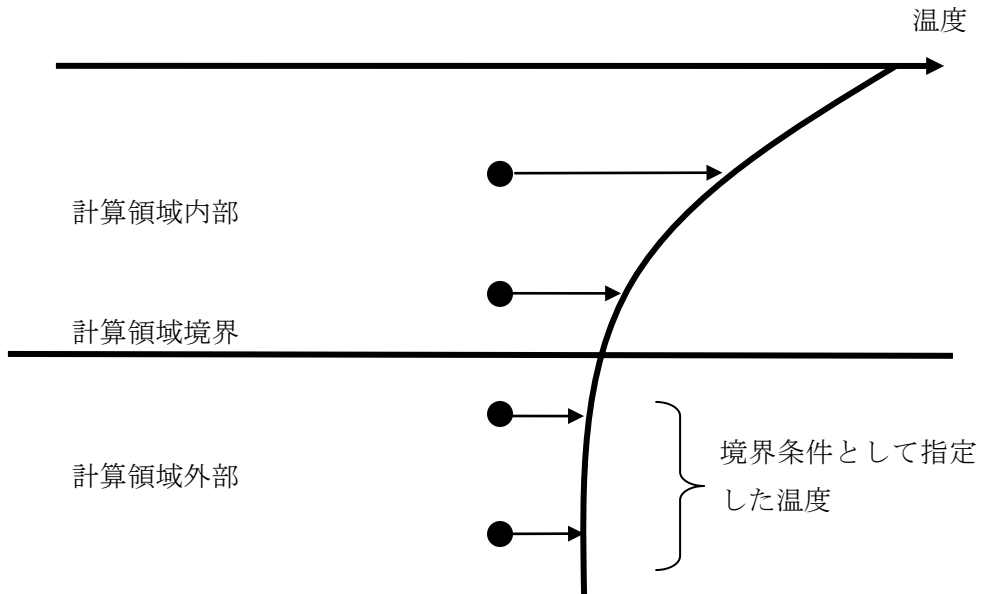
界内部から外部に向けて取った、微分作用素です。 $T_{Boundary}$  は境界面の温度、 $T_\infty$  は、系を

取り巻く雰囲気温度で、先述の **ambient temperature** の値を用いています。この境界条件は、**Newton** の冷却則が成立するような系において、そのときの気相の **convection** に由来する熱損失を、モデル化するものとして使用しています。 $h$  は **heat transfer coefficient** で、系の冷却曲線などから決めることのできる定数です。

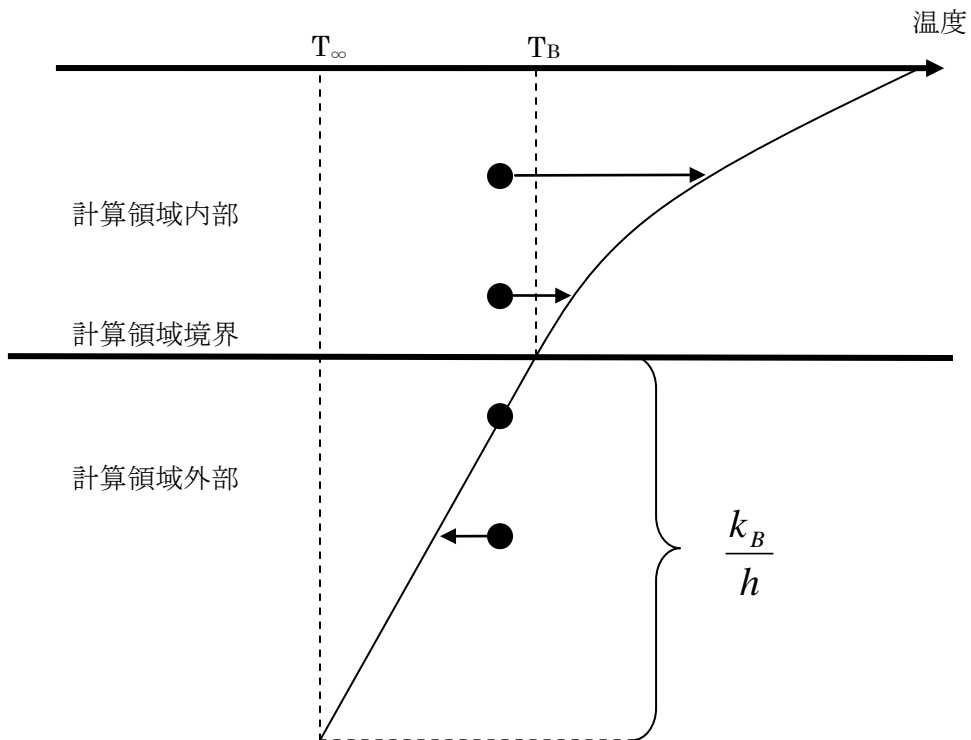
それぞれ下の図を参照してください。



温度の **dirichlet** 境界条件



温度の **heat\_transfer** 境界条件



`x_minus_temperature_bc` : `x_minus` 境界面における温度の境界条件を指定します。  
`adiabatic` と `dirichlet` と `heat_transfer` の 3つを指定できます。

`x_minus_temperature` : `x_minus_temperature_bc` が `dirichlet` のときに、`x_minus` 境界面における温度を指定します。単位は  $K$  です。

`x_plus_temperature_bc` : `x_plus` 境界面における温度の境界条件を指定します。  
`adiabatic` と `dirichlet` と `heat_transfer` の 3つを指定できます。

`x_plus_temperature` : `x_plus_temperature_bc` が `dirichlet` のときに、`x_plus` 境界面における温度を指定します。単位は  $K$  です。

`y_minus_temperature_bc` : `y_minus` 境界面における温度の境界条件を指定します。  
`adiabatic` と `dirichlet` と `heat_transfer` の 3つを指定できます。

`y_minus_temperature` : `y_minus_temperature_bc` が `dirichlet` のときに、`y_minus` 境界面における温度を指定します。単位は  $K$  です。

`y_plus_temperature_bc` : `y_plus` 境界面における温度の境界条件を指定します。  
`adiabatic` と `dirichlet` と `heat_transfer` の 3つを指定できます。

`y_plus_temperature` : `y_plus_temperature_bc` が `dirichlet` のときに、`y_plus` 境界面における温度を指定します。単位は  $K$  です。

`z_minus_temperature_bc` : `z_minus` 境界面における温度の境界条件を指定します。  
`adiabatic` と `dirichlet` と `heat_transfer` の 3つを指定できます。

`z_minus_temperature` : `z_minus_temperature_bc` が `dirichlet` のときに、`z_minus` 境界面における温度を指定します。単位は  $K$  です。

`z_plus_temperature_bc` : `z_plus` 境界面における温度の境界条件を指定します。  
`adiabatic` と `dirichlet` と `heat_transfer` の 3つを指定できます。

`z_plus_temperature` : `z_plus_temperature_bc` が `dirichlet` のときに、`z_plus` 境界面における温度を指定します。単位は  $K$  です。

heat\_transfer\_coefficient : heat transfer coefficient の値を設定します。単位は  $W/(m^2 \cdot K)$  です。

temperature\_extrapolation\_order : 現在、未使用です。

## 2.5 geometry.txt

geometry.txt についてはチュートリアル 3 で説明しています。そちらも参照してください。

geometry.txt は signed distance 関数を初期化するために読み込まれるファイルです。計算初期における、気相とその他の相（固相と液相）の界面を決めます。input.txt 内で

```
sdf_initial_mode = file_input
```

と指定すると、ソルバーから読み込まれます。

フォーマットはチュートリアル 3 および、input.txt の sdf\_initial\_mode の説明の項で述べてありますので、そちらを参照してください。

## 2.6 laser\_schedule.txt

laser\_schedule.txt についてはチュートリアル 5 で説明しています。そちらも参照してください。laser\_schedule.txt はレーザービームの各種パラメータを時間的に変化させるときに用います。レーザービームの各種パラメータについてはチュートリアル 4、ならびに、input.txt の以下の項目を参照してください。

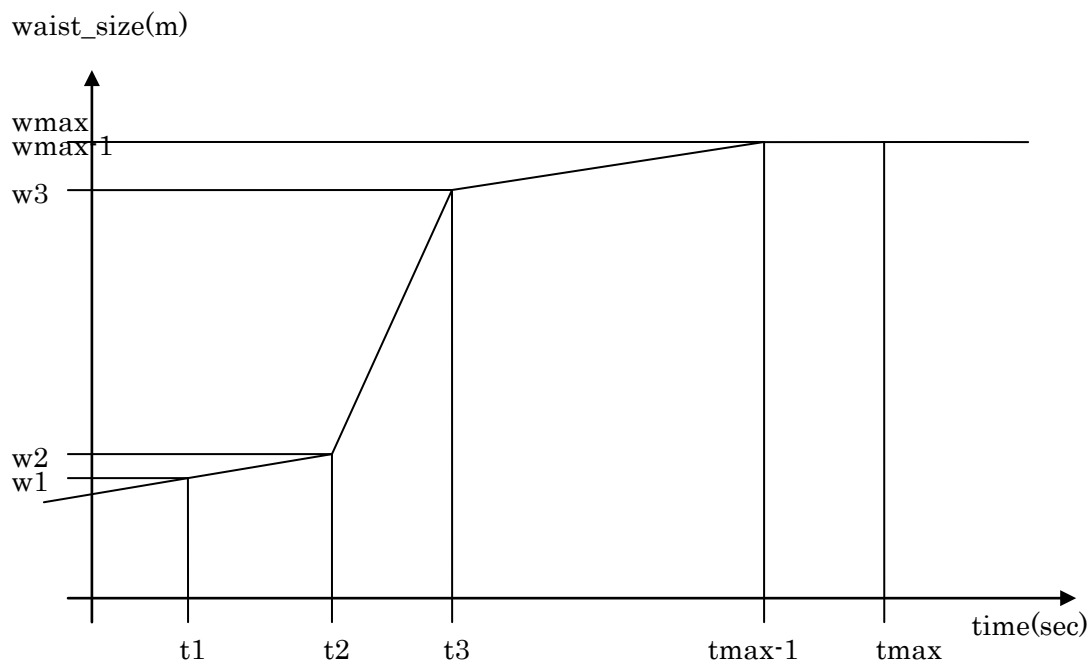
```
# Laser beam parameters
include_laser_beam
use_laser_schedule
laser_wave_length
power_transmitted_by_the_beam
waist_size
waist_position
beam_direction
up_direction
laser_mode
laser_order_m
laser_order_n
```

laser\_schedule.txt は input.txt の use\_laser\_schedule を true にすると本体のプログラム

から読み込まれます。フォーマットは以下の通りです。

```
number_of_data
time1(sec)    power1(Wat)    waist_size1(m)    waist_position1(m)(x,y,z).....
time2(sec)    power2(Wat)    waist_size2(m)    waist_position2(m)(x,y,z) .....
time3(sec)    power3(Wat)    waist_size3(m)    waist_position3(m)(x,y,z) .....
.....
```

waist\_size を例にとると



時刻  $t_1$  以前の値は、時刻  $t_1$  の値  $w_1$  と時刻  $t_2$  の値  $w_2$  を線形に外挿して決めます。

時刻  $t$   $t_i \leq t < t_j$  の値は時刻  $t_i$  の値  $w_i$  と時刻  $t_j$  の値  $w_j$  を線形内挿して決めます。

時刻  $t_{\max}$  以降の値は時刻  $t_{\max-1}$  の値  $w_{\max-1}$  と時刻  $t_{\max}$  の値  $w_{\max}$  を線形に外挿して決めます。  
より詳細は、チュートリアル5を参照してください。

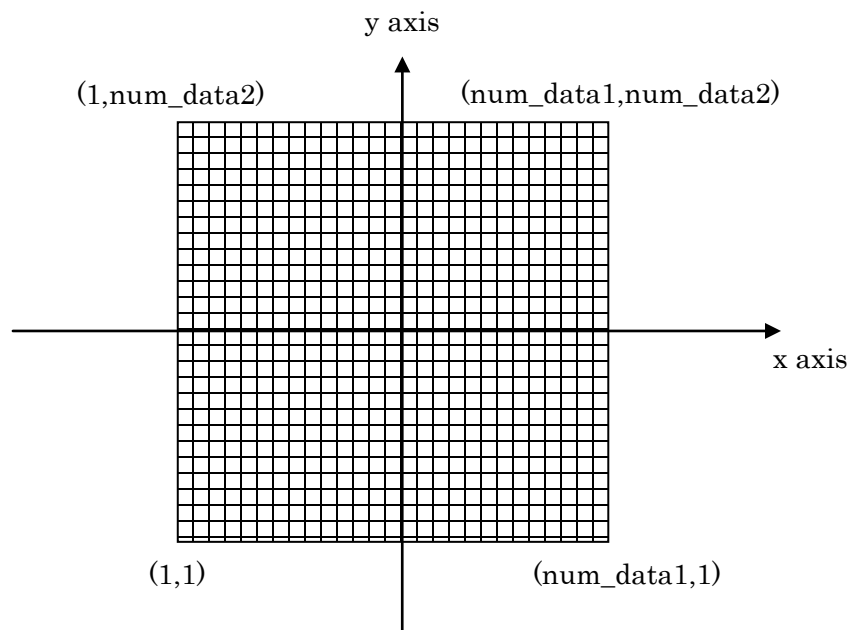
## 2.7 laser\_profile.txt

laser\_profile.txt についてはチュートリアル4で説明しています。そちらも参照してください。laser\_profile.txt はレーザービームに垂直な断面内におけるレーザービームの強度をユーザが自分で指定したいときに用います。input.txt の laser\_mode を file\_input に指定すると、プログラム本体から読み込まれます。

laser\_profile.txt のフォーマットは以下のようになります。

```
num_data1    num_data2
data(1,1)
data(2,1)
data(3,1)
```

```
data(num_data1,num_data2)
```



ここで `num_data1` と `num_data2` は必ずしも等しくする必要はありませんが、どちらも奇数を指定してください。 `data(i,j)` には図に示した、対応する点のレーザ強度を記述してください。強度は、相対的なものでいいです。内部で適切に規格化を行います。より詳細はチュートリアル4を参照してください。